

**Observational effects on large-  
scale structure observations**

# Redshift-space distortions

# 赤方偏移空間

観測者が定義する空間は‘実際’の空間とは違う

特殊相対論の最低次の効果 (i.e.,  $v/c \ll 1$ )

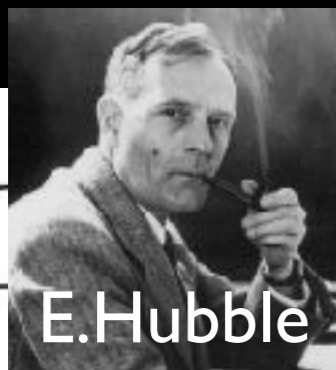
銀河の特異速度

赤方偏移空間  
(共動系)

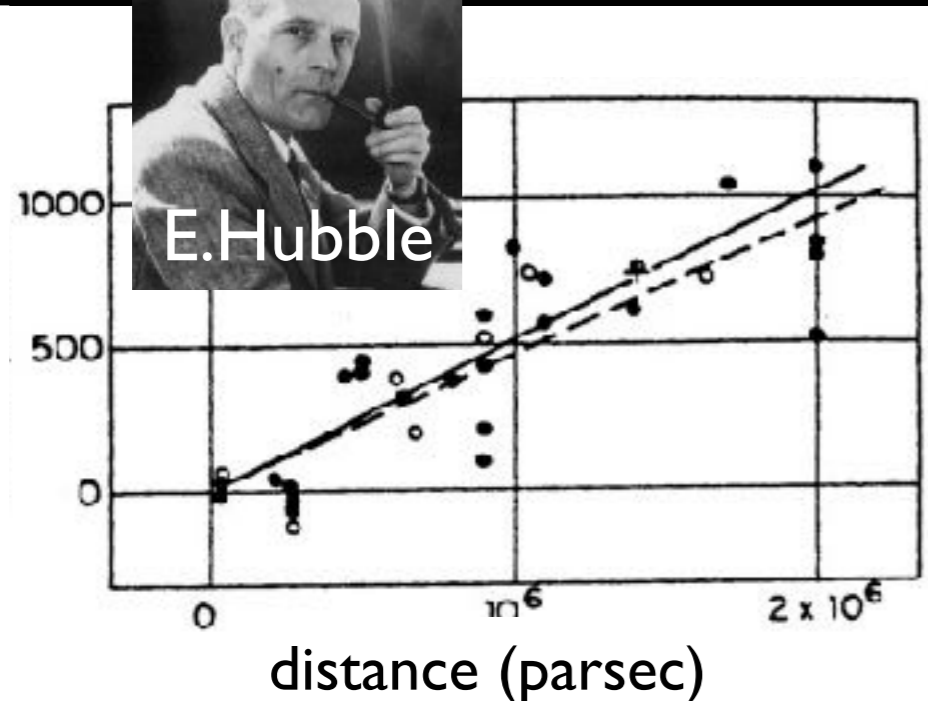
$$\vec{s} = \vec{r} + \frac{1+z}{H(z)} (\vec{v} \cdot \hat{z}) \hat{z}$$

実空間

観測者の視線方向



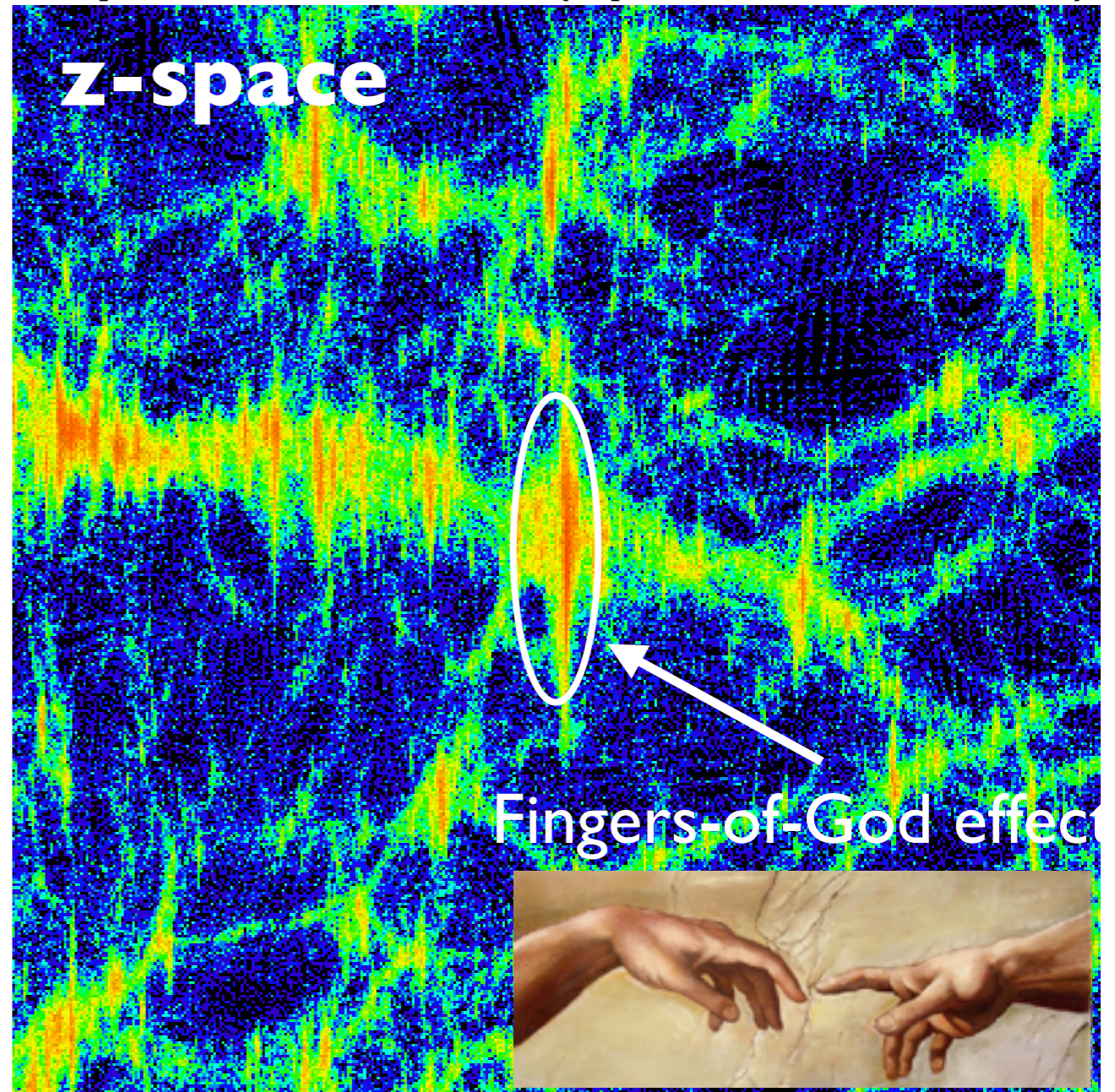
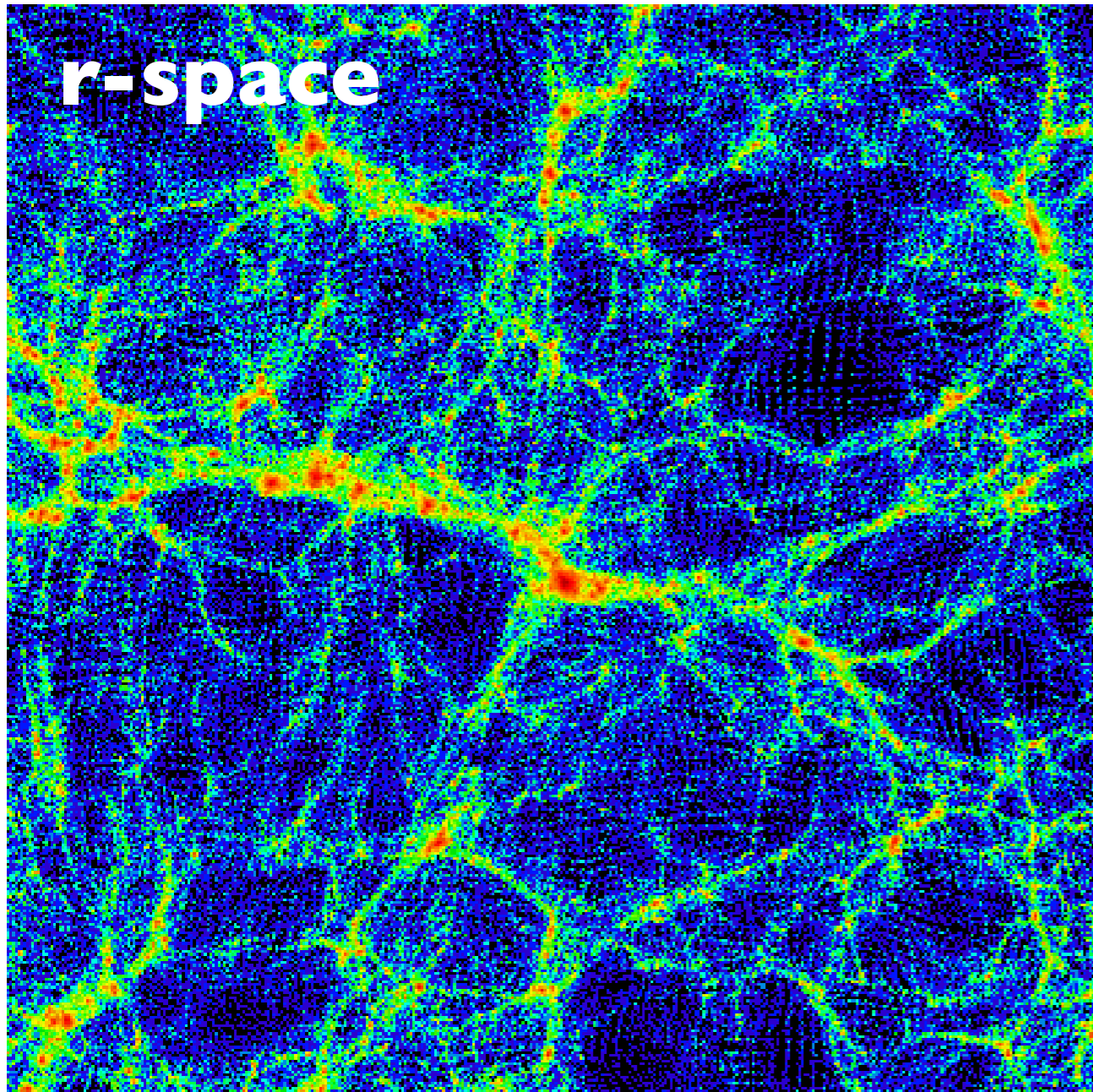
E. Hubble



- ハッブルダイアグラムに見られるバラツキの原因
- 2点相関関数・パワースペクトルでは系統的効果として効く

# Redshift-space distortions (RSD)

Dark matter in N-body simulations (by T. Nishimichi)

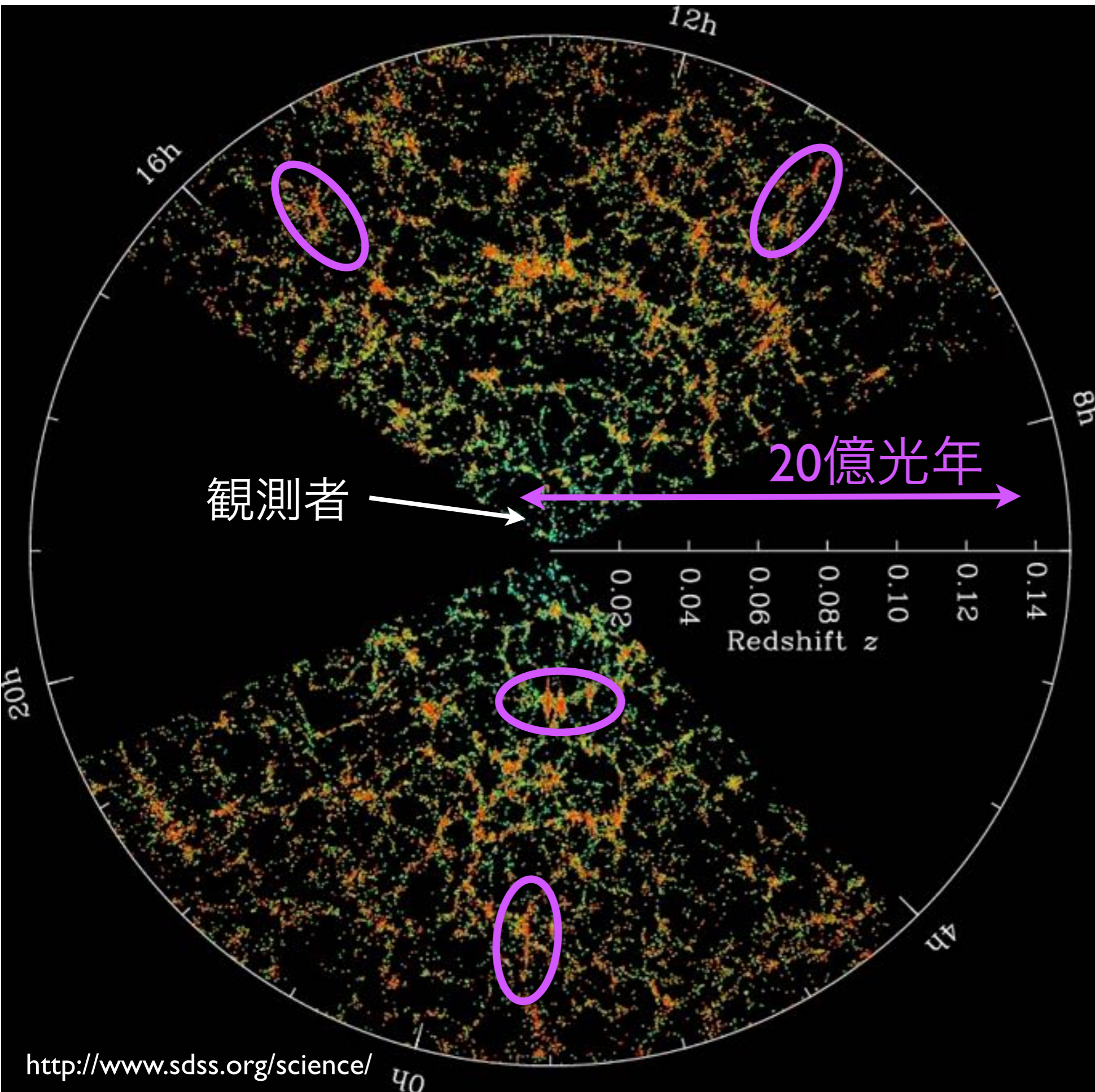


$\sim 100 \text{Mpc}/h$  ?

↑ observer's line-of-sight direction



# RSD in SDSS-II main galaxies



色は銀河の年齢

青い : 若い

赤い : 古い

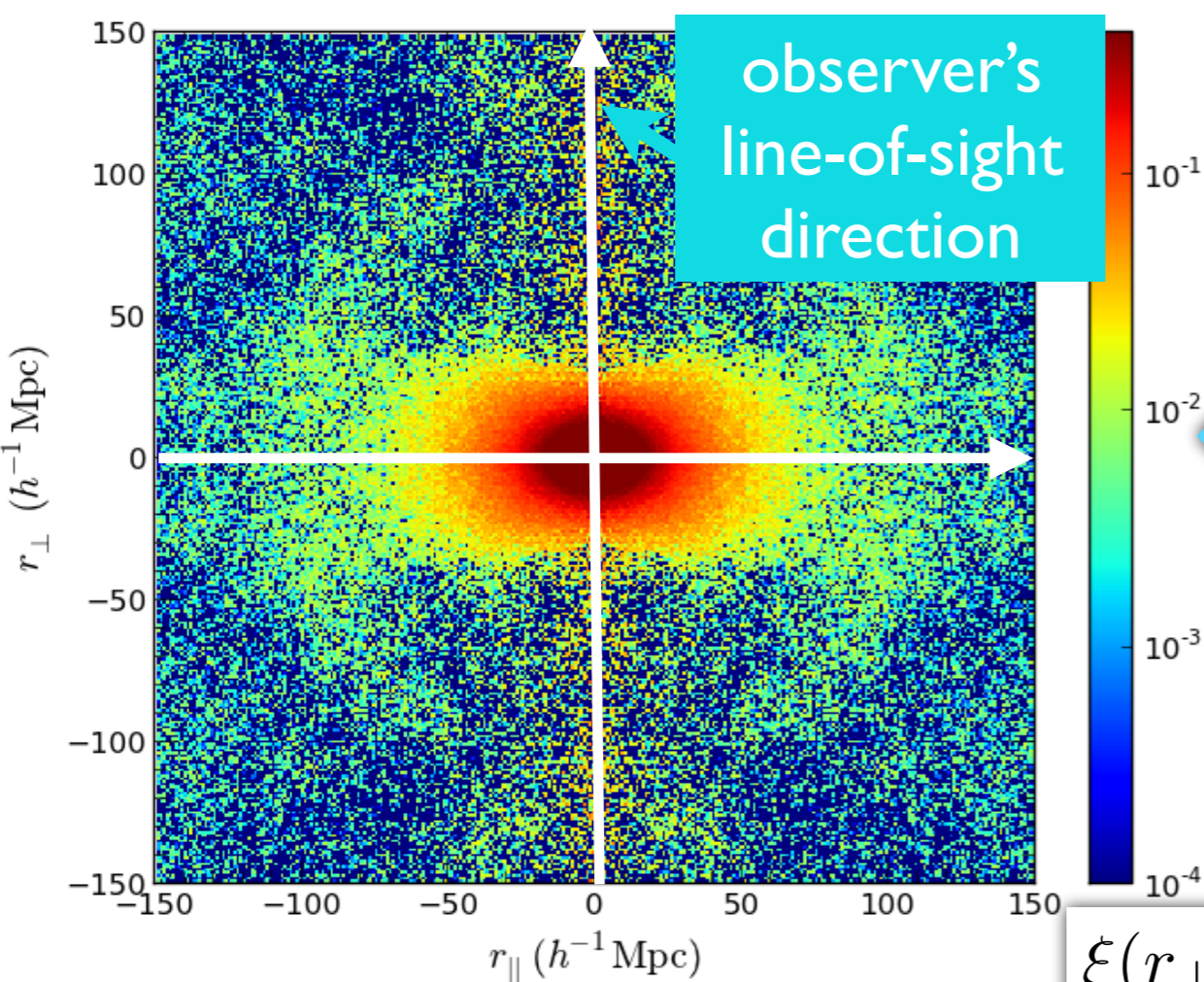


# Anisotropic correlation function

Anderson et al.('13)

BOSS DR11, CMASS samples

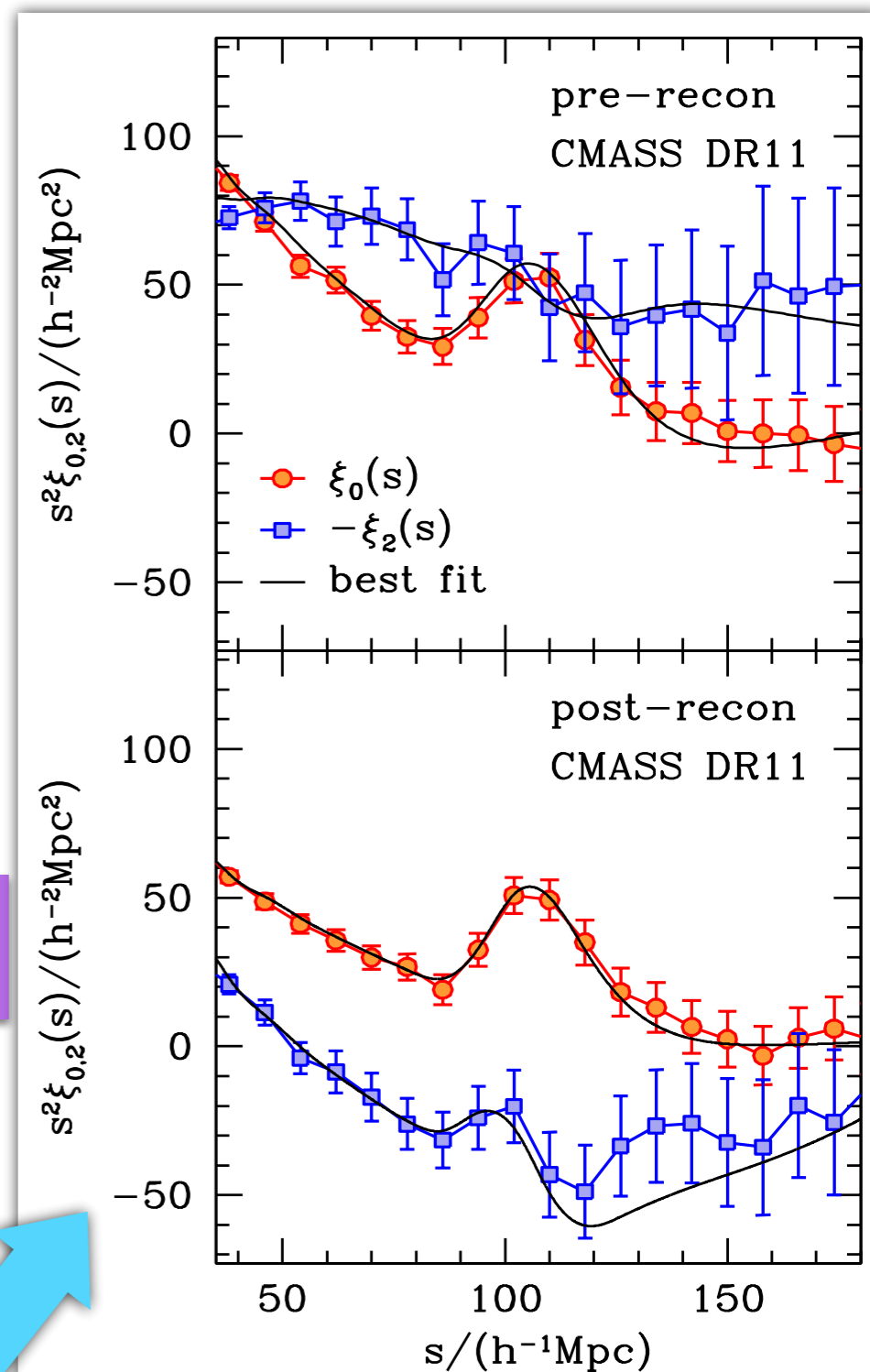
700,000 gals @  $0.43 < z < 0.7$



$$\xi(r_{\perp}, r_{\parallel})$$

Multipole expansion

$$\xi(r_{\perp}, r_{\parallel}) = \sum_{\ell:\text{even}} \xi_{\ell}(s) \mathcal{L}_{\ell}(r_{\parallel}/s) ; s = (r_{\perp}^2 + r_{\parallel}^2)^{1/2}$$



Samushia et al.('13)

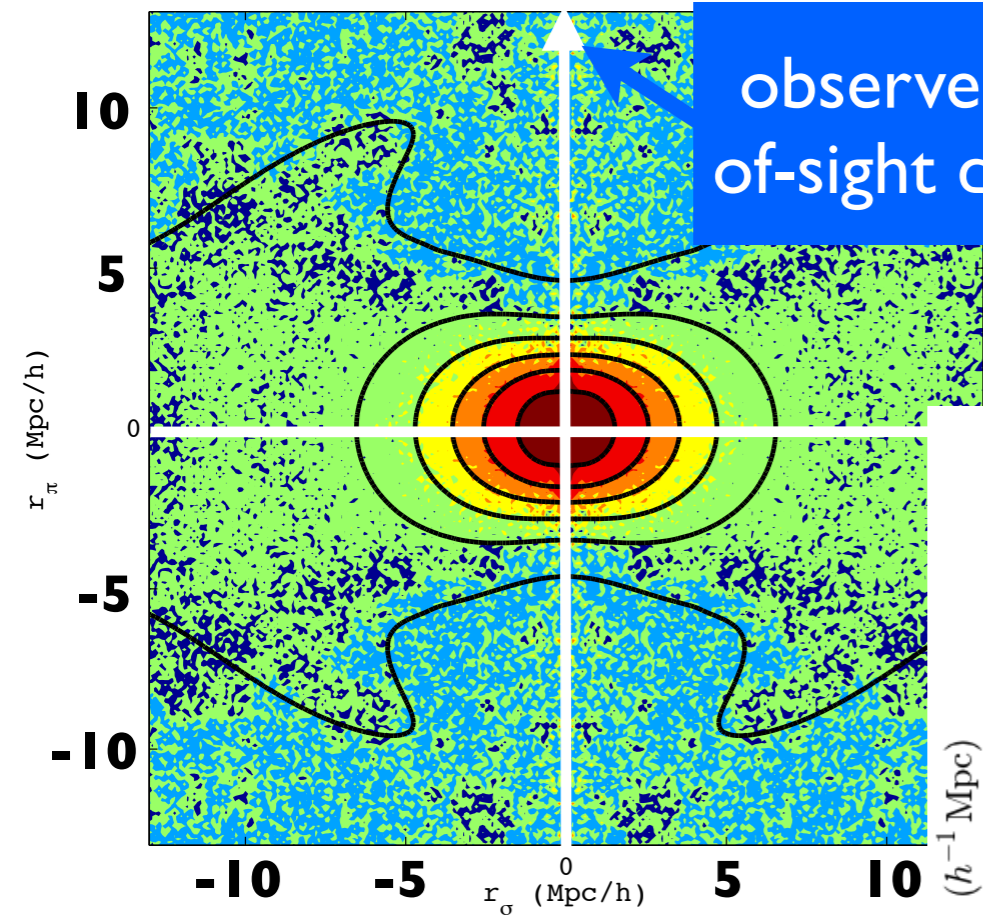
# BOSS DR9

Reid et al. ('12)

Samushia et al. ('13)

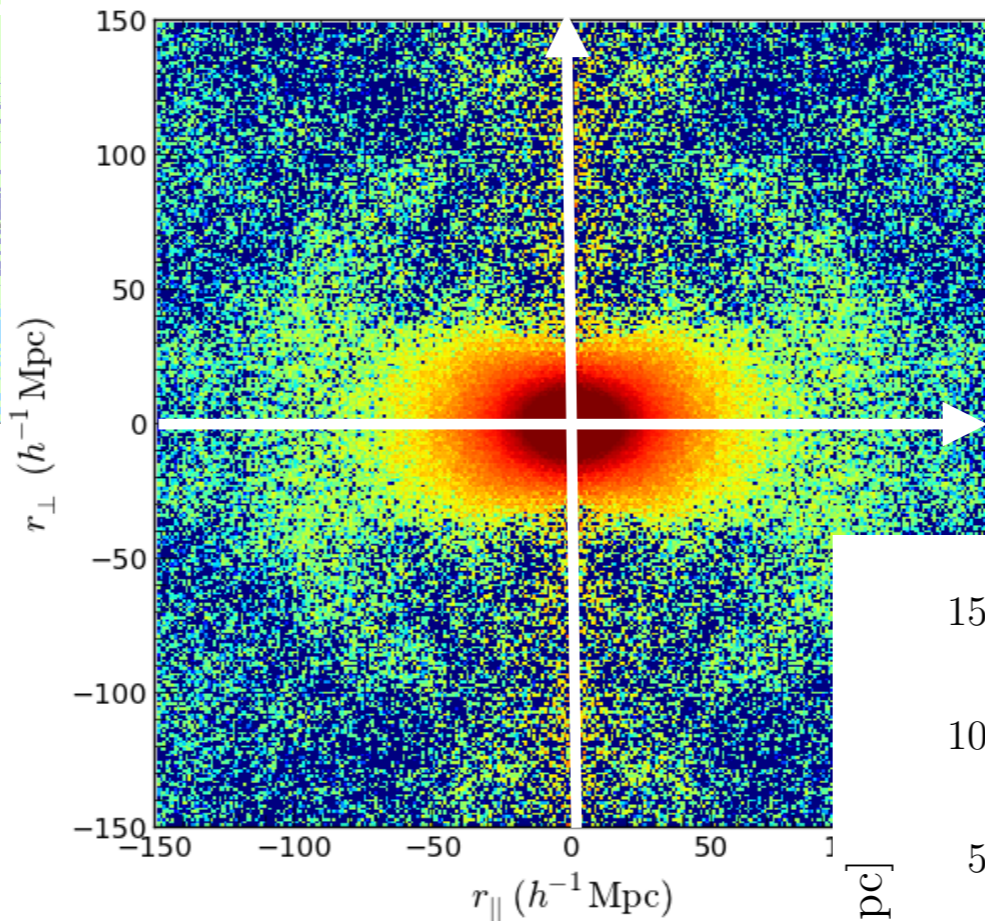
Alam et al. ('16)

observer's line-of-sight direction



260,000gals @  $0.43 < z < 0.7$

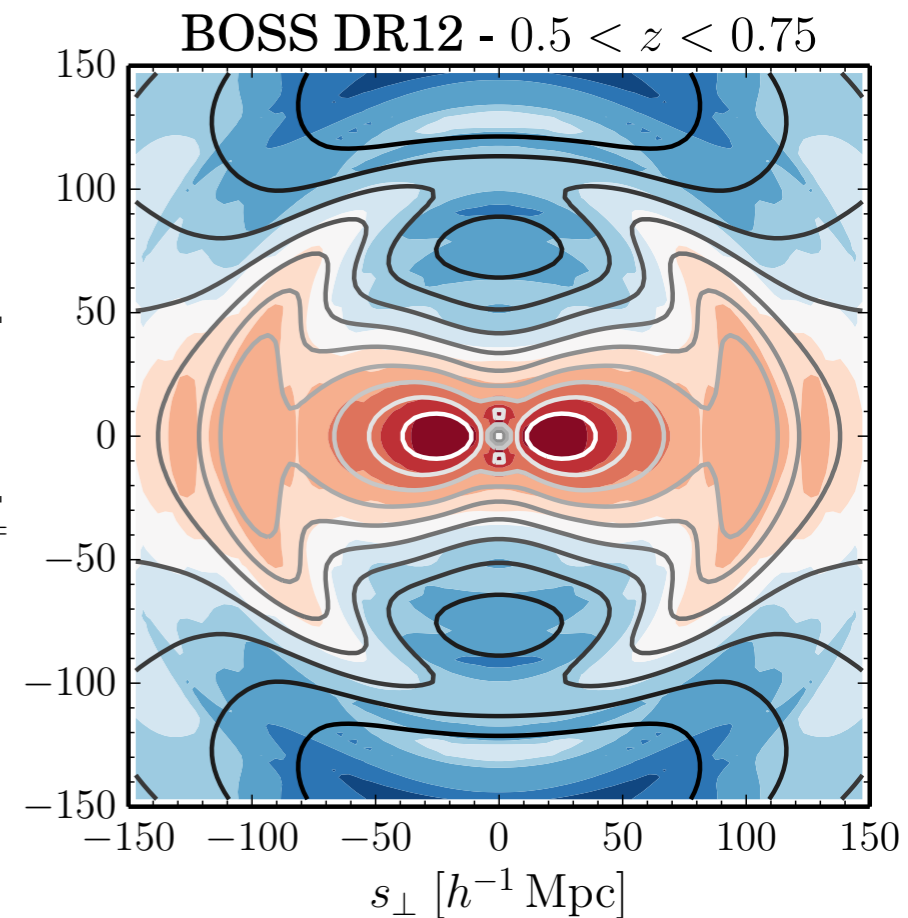
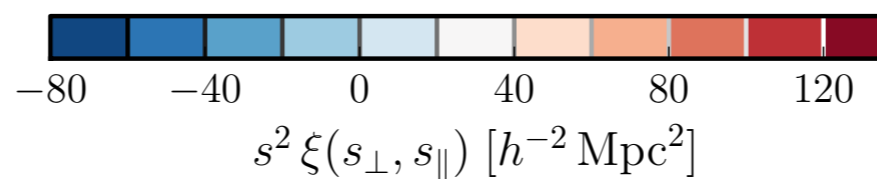
# BOSS DR11



700,000gals @  $0.43 < z < 0.7$

# BOSS DR12

1,200,000 galaxies

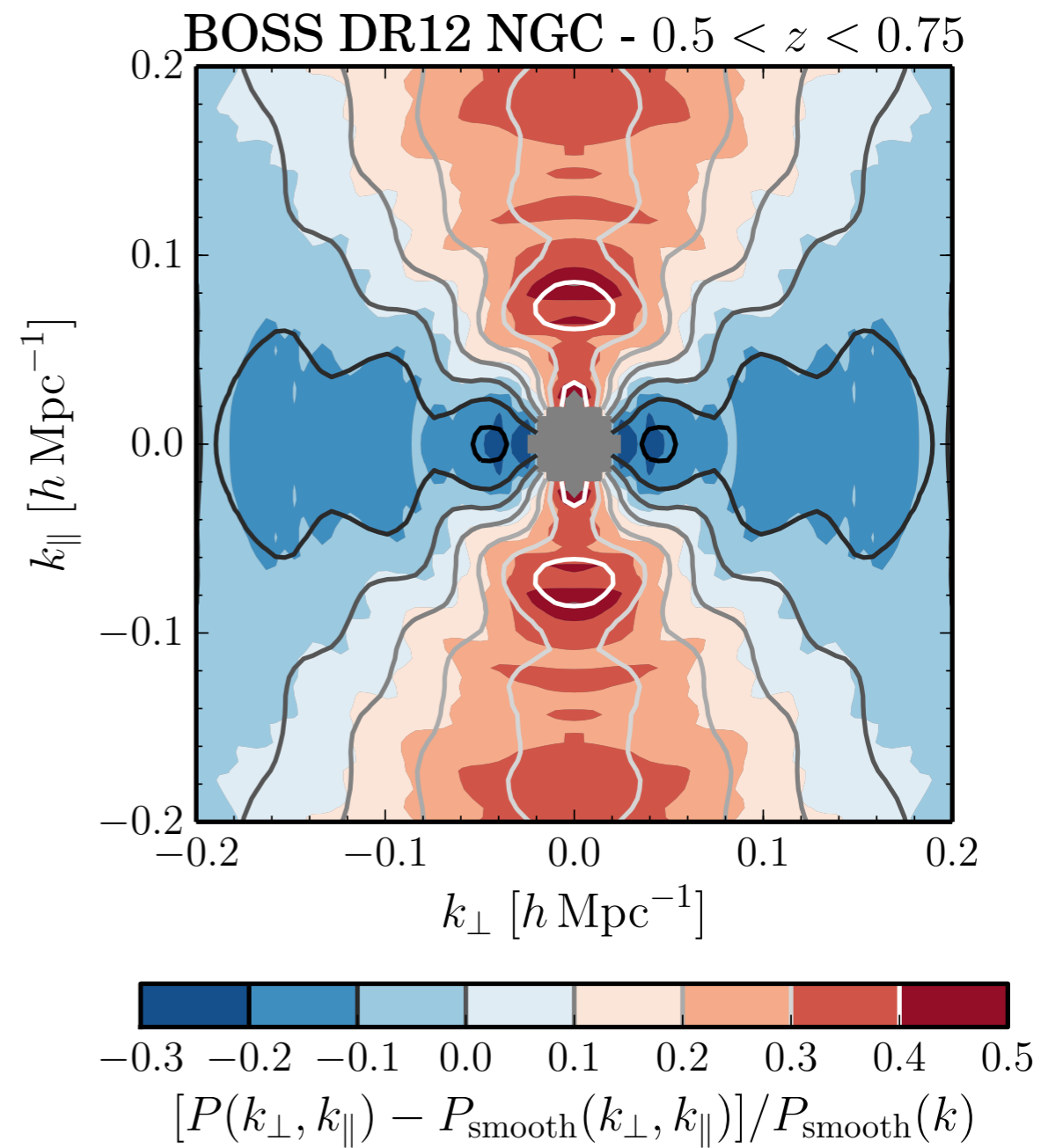
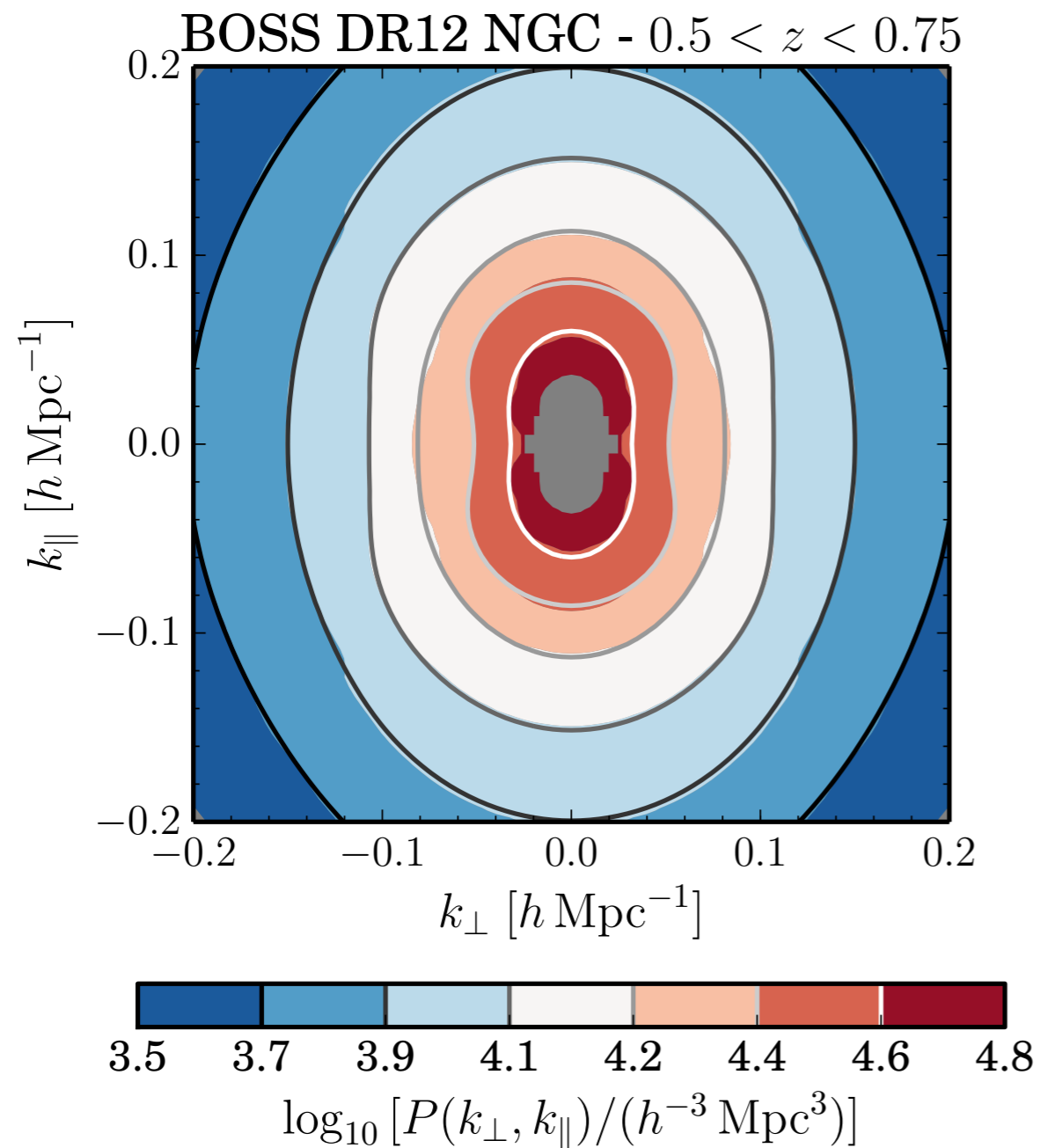


BOSS DR12 -  $0.5 < z < 0.75$



# Anisotropic power spectrum

BOSS DR12

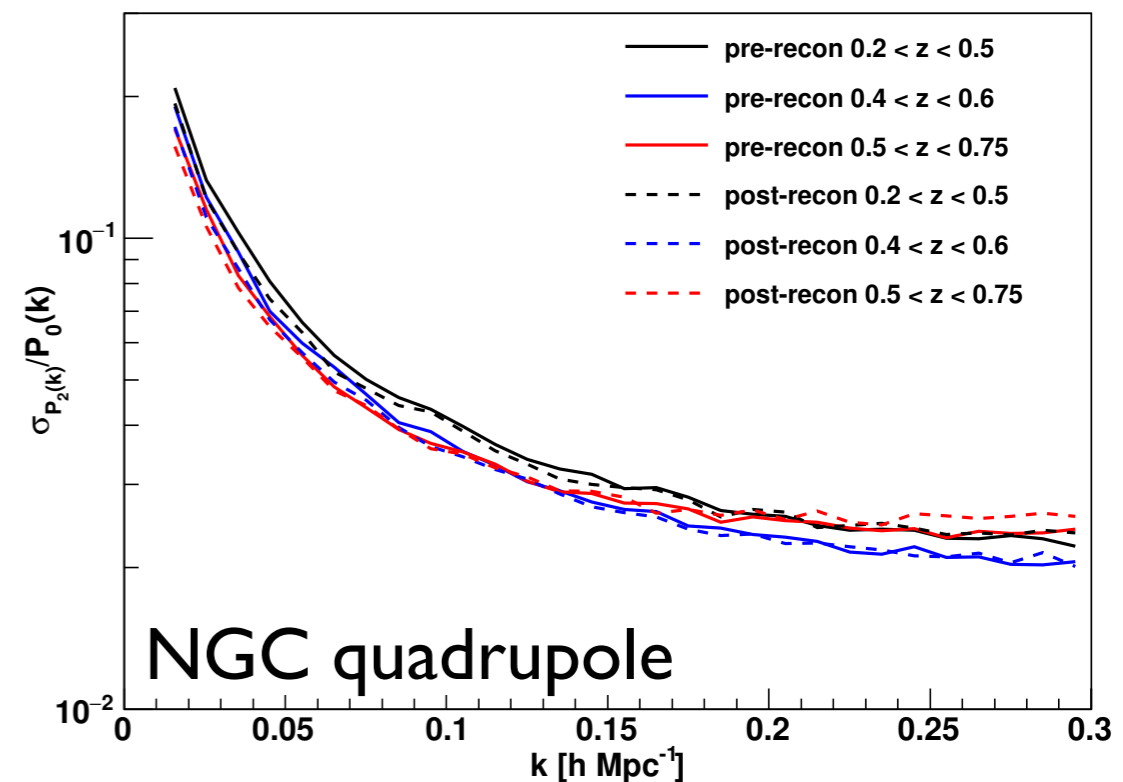
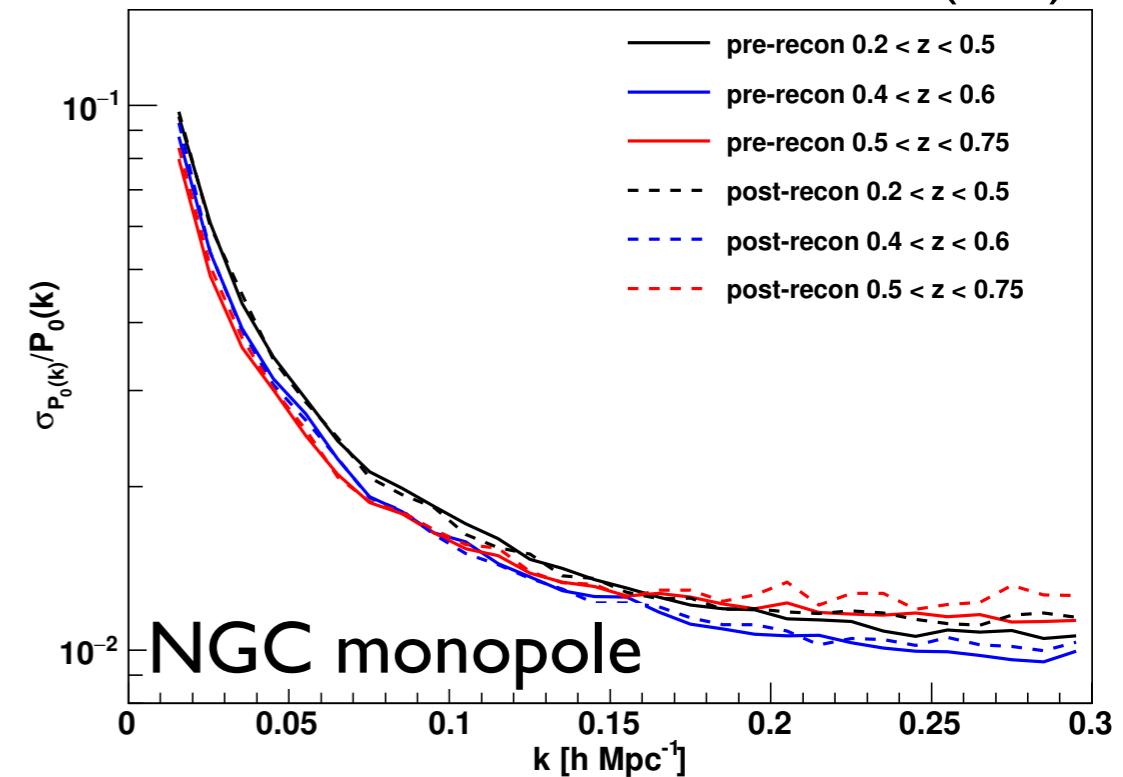
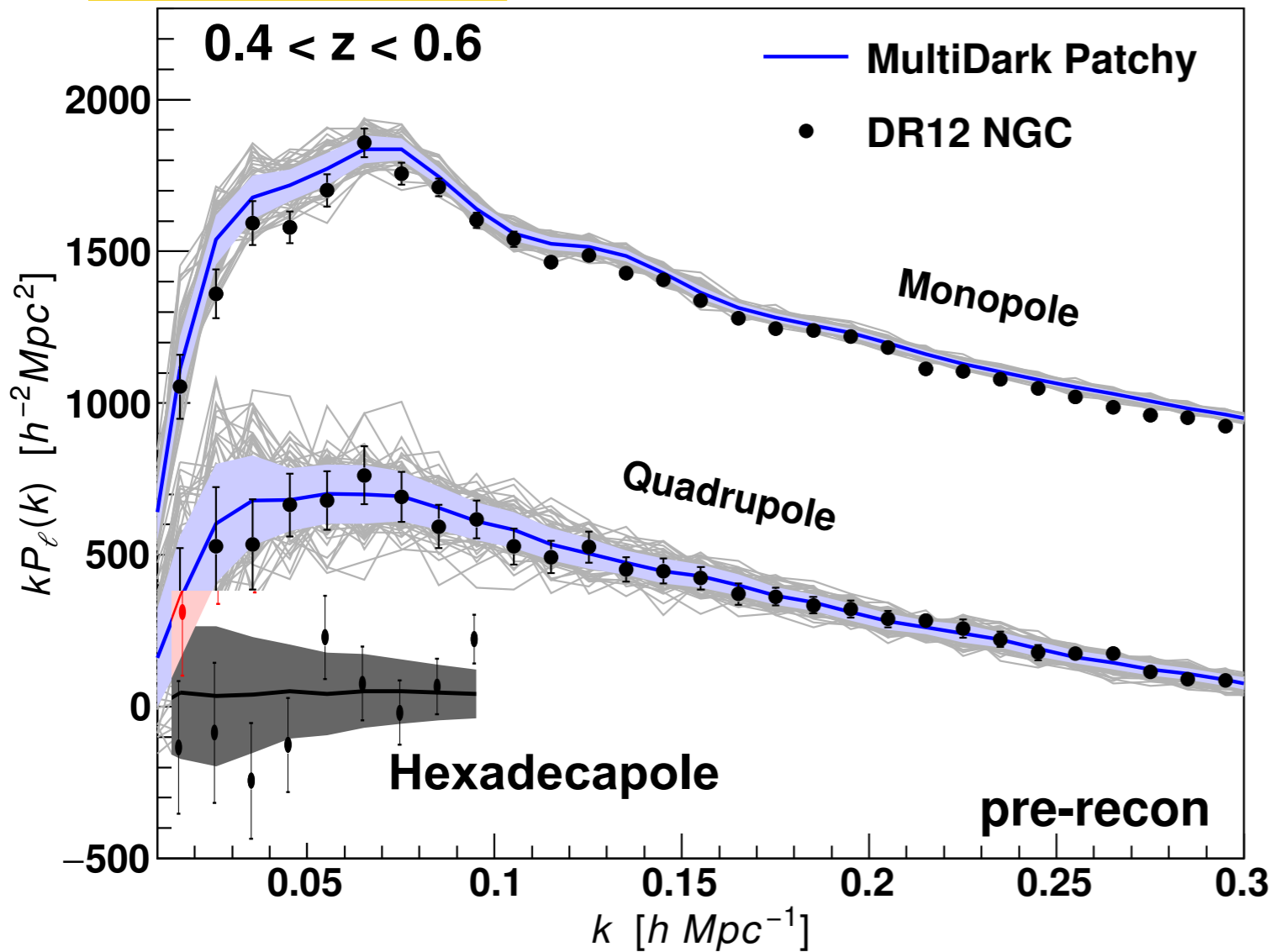


Alam et al. ('16)

# Anisotropic power spectrum

BOSS DR12

Beutler et al. ('16)



$$P(k_{\parallel}, k_{\perp}) = \sum_{\ell: \text{even}} P_{\ell}(k) \mathcal{P}_{\ell}(k_{\parallel}/k)$$

;  $k = (k_{\parallel}^2 + k_{\perp}^2)^{1/2}$

# カイザー公式

Kaiser ('87)

赤方偏移空間  
の密度場

$$\delta^{(S)}(\mathbf{s}) = \left| \frac{\partial \mathbf{s}}{\partial \mathbf{x}} \right|^{-1} \{1 + \delta(\mathbf{s})\} - 1$$

質量密度の保存

$$\begin{aligned} \{1 + \delta^{(S)}(\mathbf{s})\} d^3 \mathbf{s} \\ = \{1 + \delta(\mathbf{r})\} d^3 \mathbf{r} \end{aligned}$$

$$\simeq \delta(\mathbf{r}) - \frac{(1+z)}{H(z)} \partial_z v_z \quad (\text{線形近似})$$

フーリエ変換

連続の式： $\dot{\delta} + \frac{1}{a} \nabla \cdot \mathbf{v} \simeq 0$   
(渦なし)

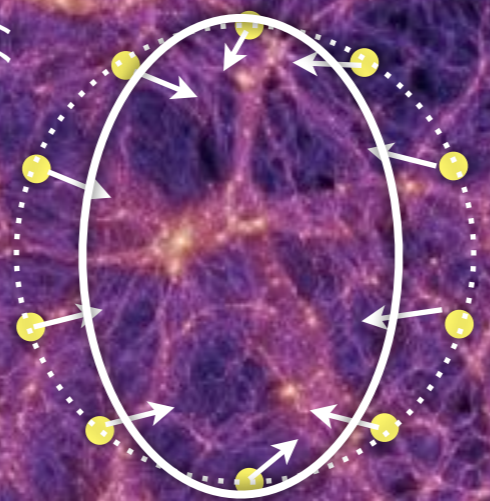
$$\delta^{(S)}(\mathbf{k}) = \left( 1 + \mu_k^2 \frac{d}{d \ln a} \right) \delta(\mathbf{k}) ; \quad \mu_k \equiv \hat{\mathbf{k}} \cdot \hat{\mathbf{z}} > 0$$

コヒーレントな  
落下運動



視線方向

四重極的  
非等方性



視線方向に沿って密度場の  
振幅超過

# 重力のプローブ

カイザー  
公式

$$\delta^{(S)}(\mathbf{k}) = (1 + f \mu_k^2) \delta(\mathbf{k}) ; \quad f \equiv \frac{d \ln D_+}{d \ln a}$$

線形成長因子  
スケール因子

構造の成長率は重力の性質によって変わらうる

しかも

カイザー公式は重力理論とは無関係に成り立つ

宇宙論的大スケールで重力理論（相対論）を検証する手段

- $\Lambda$ CDMモデルの中で未だ検証されていない仮定
- 加速膨張の起源に迫る手がかり

e.g., Linder ('08); Guzzo et al. ('08); Yamamoto et al. ('08); Percival & White ('09)



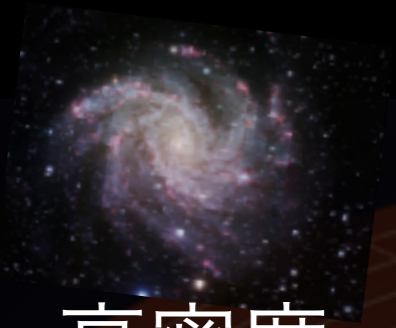
# 宇宙論的大スケールにおける重力

銀河

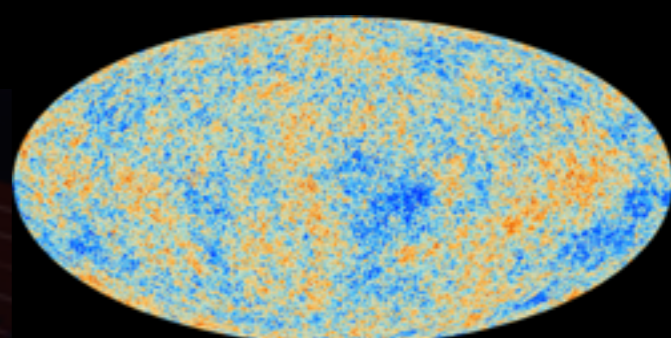
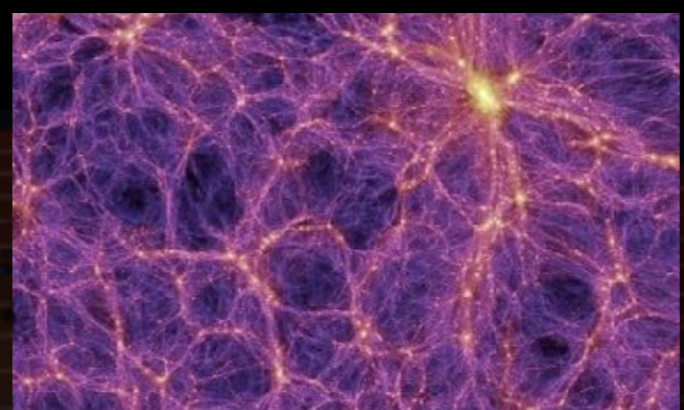
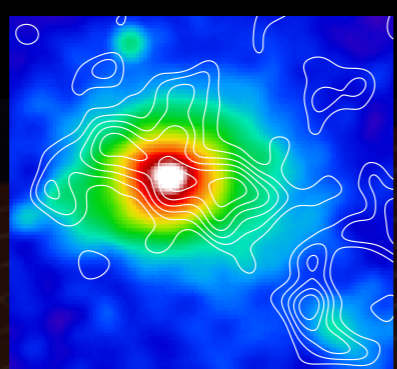
銀河団

銀河のクラスターリング

CMB



高密度



小スケール  
(~kpc)

構造形成の修正

大スケール  
(~Gpc)

一般相対論を再現  
(重力スクリーニング)

スカラー自由度による  
第5の力の発現

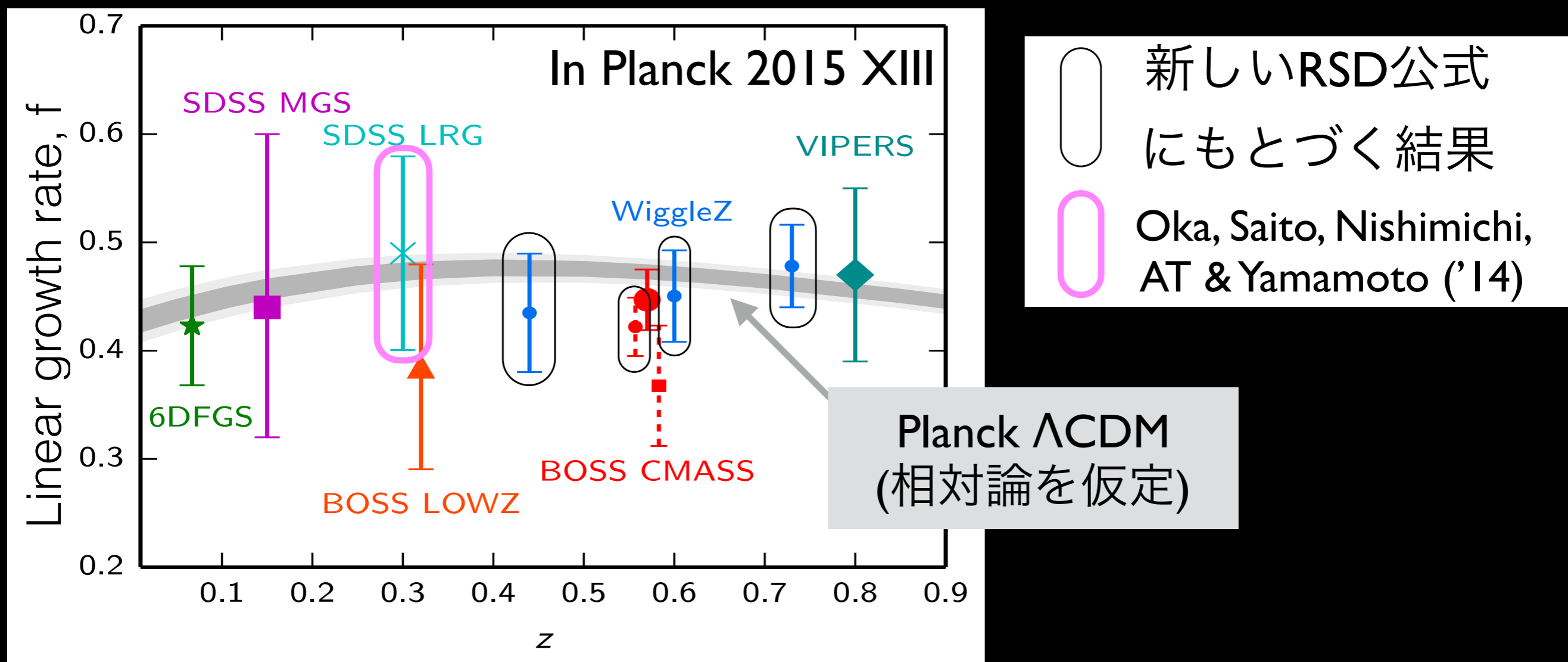
加速膨張

修正重力を記述する理論的枠組みは十分すぎるほど発展した:  
f(R)重力、DGP、ホルンデスキー、ビヨンドホルンデスキー...



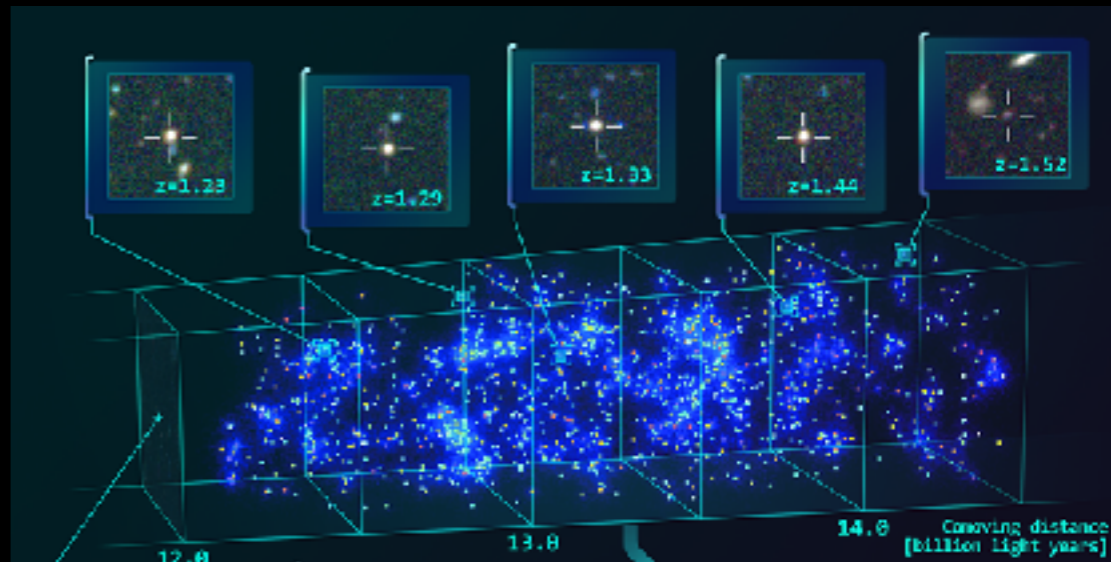
# 相対論のテスト

相対論 ( $\Lambda$ CDM) が正しいと仮定して構築した理論テンプレートを観測データと比較して、正しく成長率が求まるか？

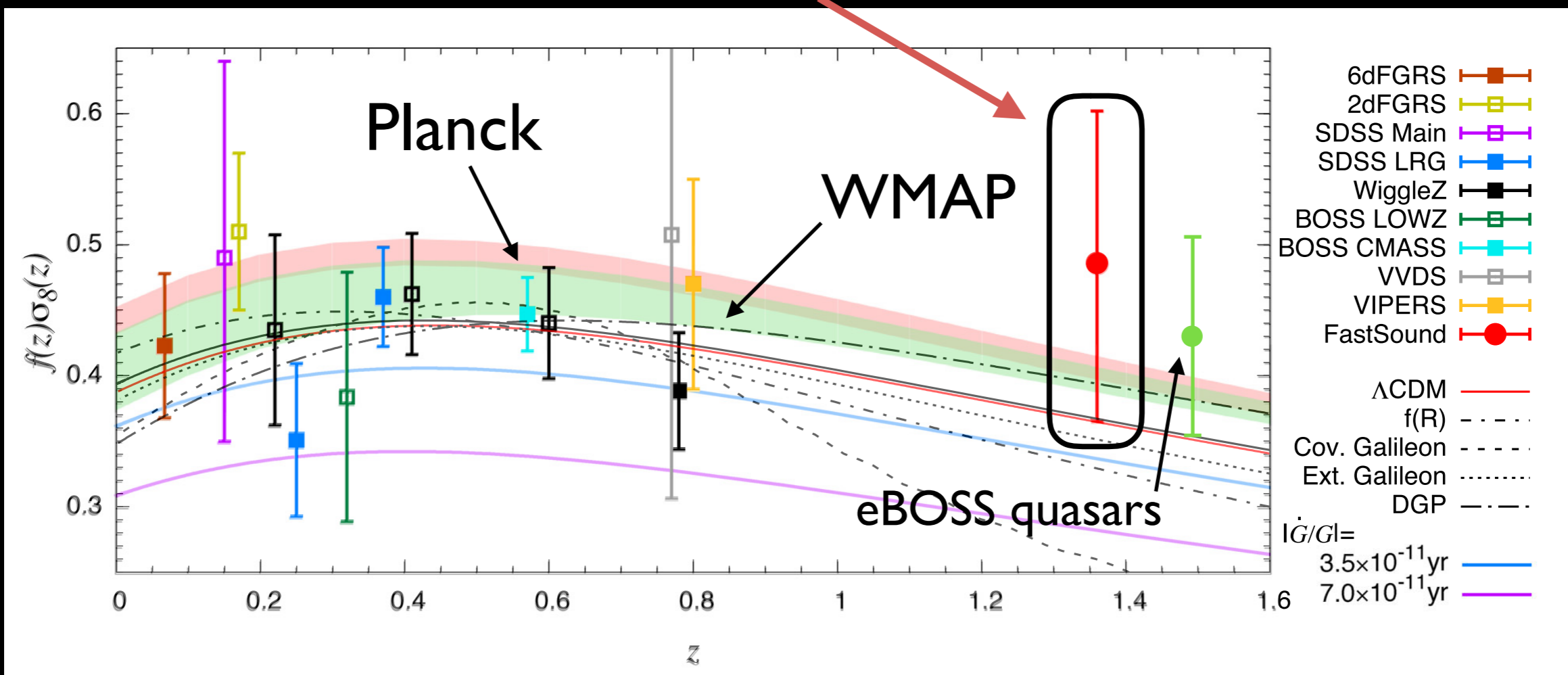


最近のデータ (BOSS DR12) でも新しいRSD公式が使われたが、相対論からの有意なずれは見つかっていない (Beutler, Seo, Saito et al. '16)

# 高赤方偏移での制限



$z \sim 1.4$  で2800個の輝線銀河を用いた  
RSD観測 (線形理論でよくフィット)

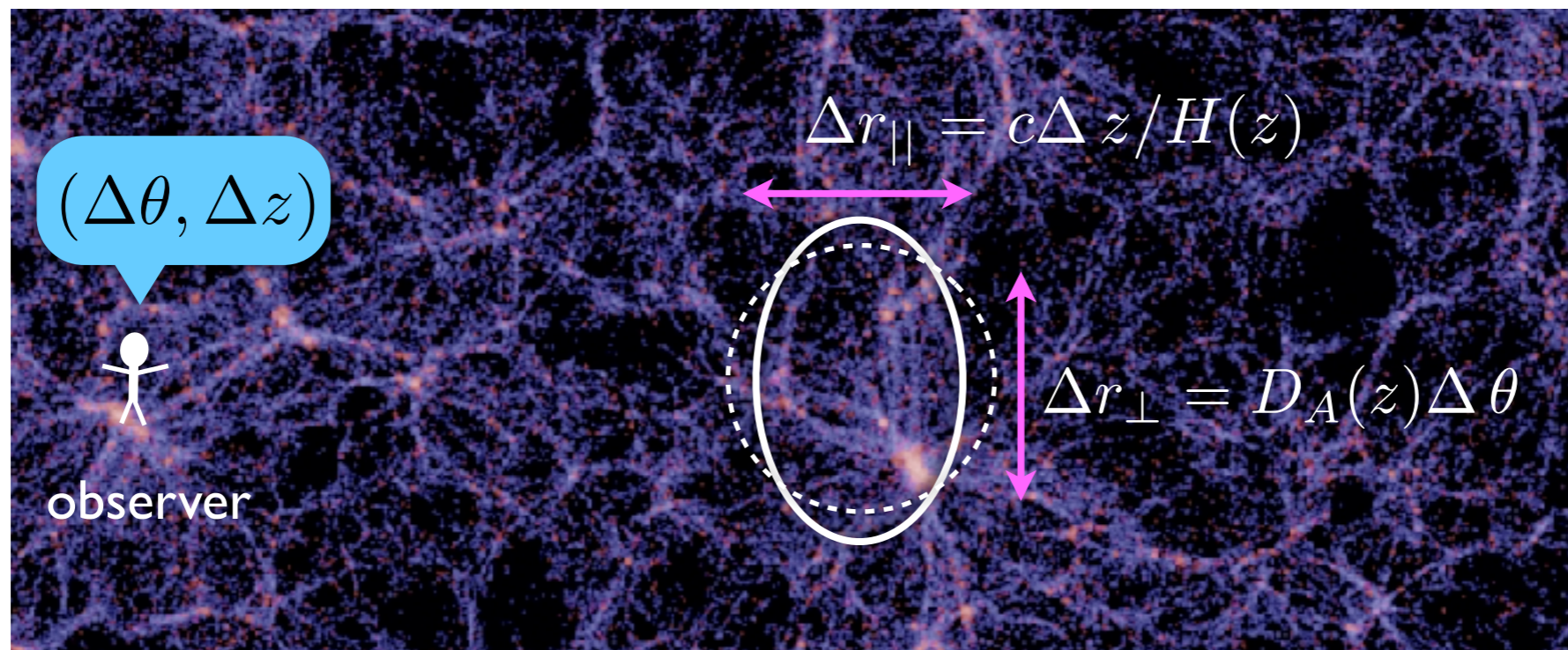


# Geometric distortions (Alcock-Paczynski effect)

# Geometric distortions

(Alcock-Paczynski effect)

Cosmological distortions caused by apparent mismatch of underlying cosmological models



→ can generate higher multipole moments of anisotropies

Using the standard ruler,

**H(z)** & **DA(z)** can be measured simultaneously



## An evolution free test for non-zero cosmological constant

Charles Alcock

The Institute for Advanced Study, Princeton, New Jersey 08450

Bohdan Paczyński\*

Department of Astronomy, University of California at Berkeley, Berkeley, California 94720 and Princeton University Observatory, Princeton, New Jersey 08540

The cosmological constant has recently been questioned because of difficulties in fitting the standard  $\Lambda = 0$  cosmological models to observational data<sup>1,2</sup>. We propose here a cosmological test that is a sensitive estimator of  $\Lambda$ . This test is unusual in that it involves no correction for evolutionary effects. We present here the idealised conception of the method, and hint at the statistical problem that its realisation entails.

Consider a collection of test objects emitting radiation containing spectral lines (so that redshifts may be determined), which are distributed on the surface of a sphere. (Any spherically symmetric, bounded distribution will do; this idealisation is for convenience only.) Let the sphere expand with the local

where

$$\sum_{+1} (x) = \sin x, \sum_{-1} (x) = \sinh x \quad (5)$$

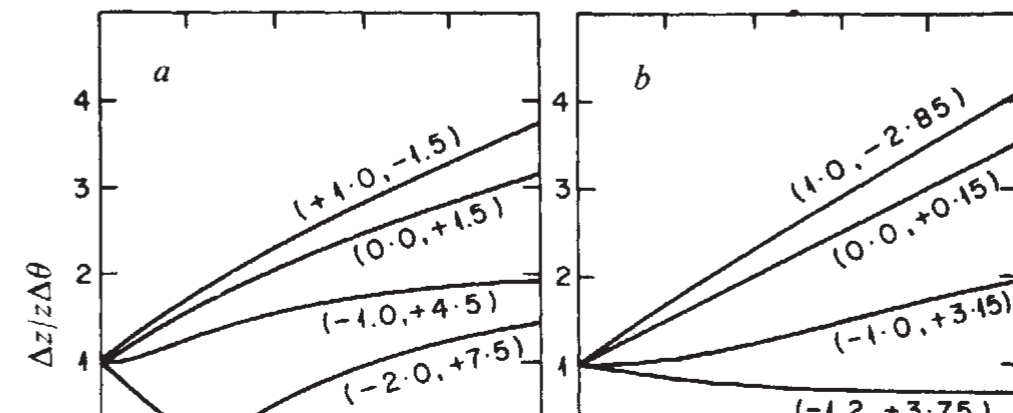
In the case  $k = 0$ ,

$$\frac{\Delta z}{z \Delta \theta} = z^{-1} \{1 - \Omega_0 + \Omega_0(1+z)^3\}^{1/2} \int_1^{1+z} dy \{1 - \Omega_0 + \Omega_0 y^3\}^{-1/2} \quad (6)$$

For the 'conventional' cosmologies where  $\Lambda = 0$  there is the simple expression,

$$\frac{\Delta z}{z \Delta \theta} = \frac{(1+2q_0z)^{1/2}}{q_0^2 z} \{q_0z + (q_0-1)((1+2q_0z)^{1/2}-1)\} \quad (7)$$

Numerical evaluation of equation (7) shows that  $\Delta z/(z \Delta \theta)$  is not a powerful estimator of  $q_0$  in the  $\Lambda = 0$  case—there is only 11% variation of  $\Delta z/(z \Delta \theta)$  between  $q_0 = 0$  and  $q_0 = 1$  at  $z = 2$ . However, the general expressions (4) and (6) show great variations of  $\Delta z/(z \Delta \theta)$  with the parameters. This is shown in Fig. 1.

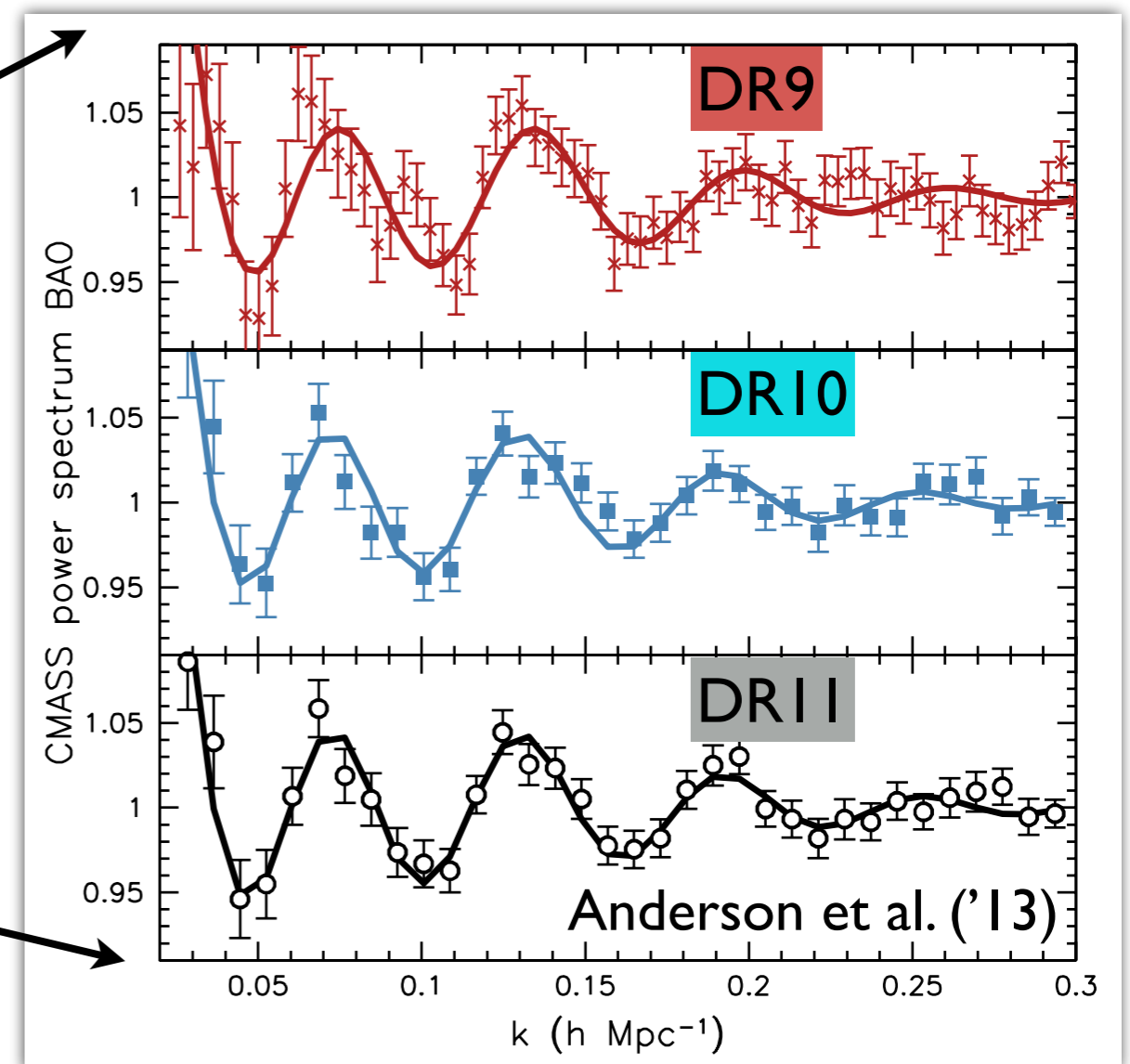
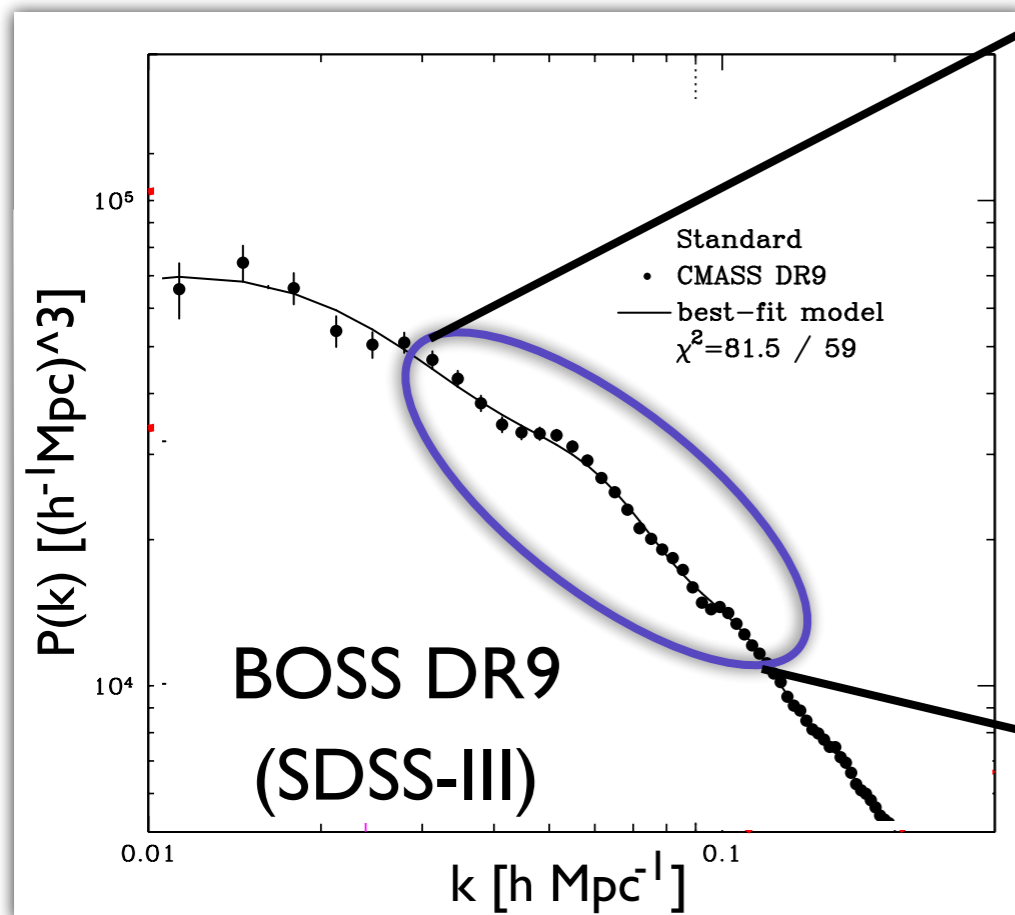


## Early studies before detection of BAOs :

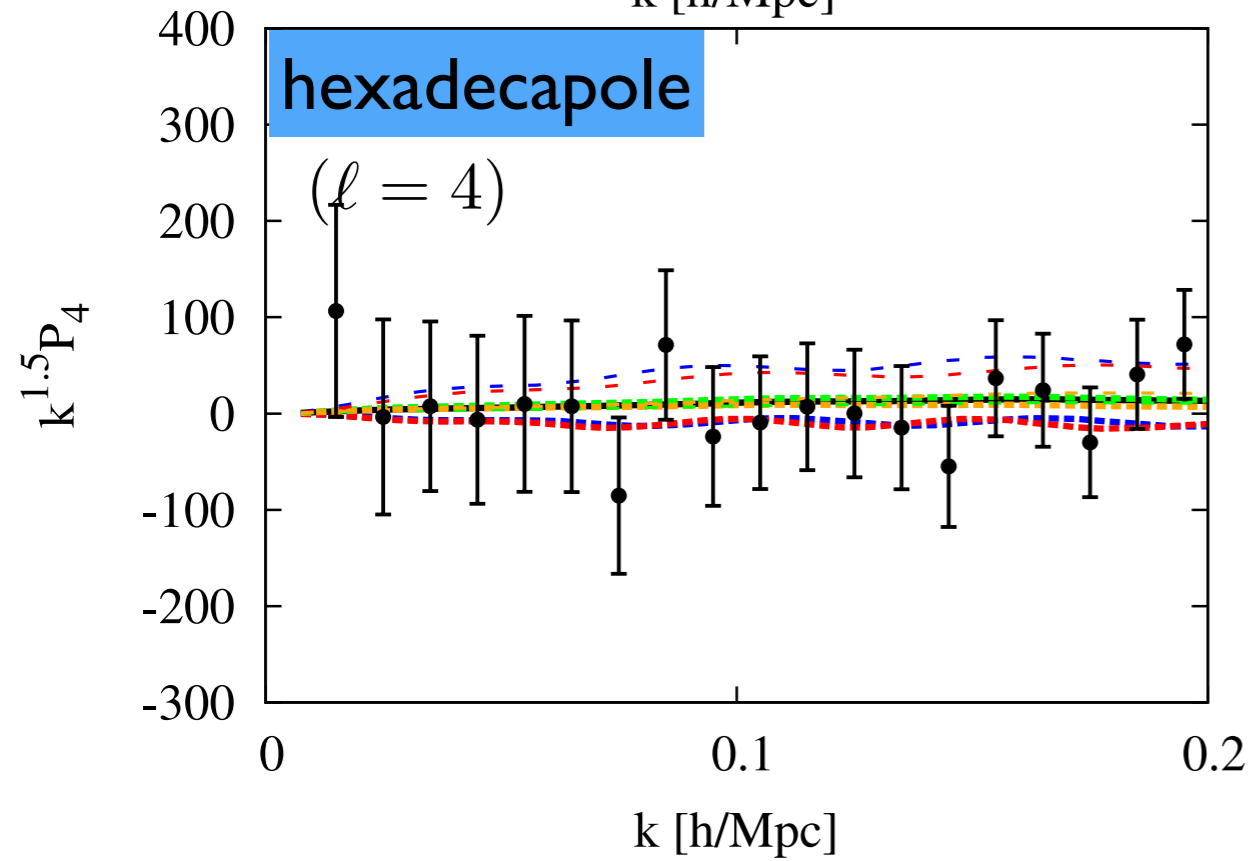
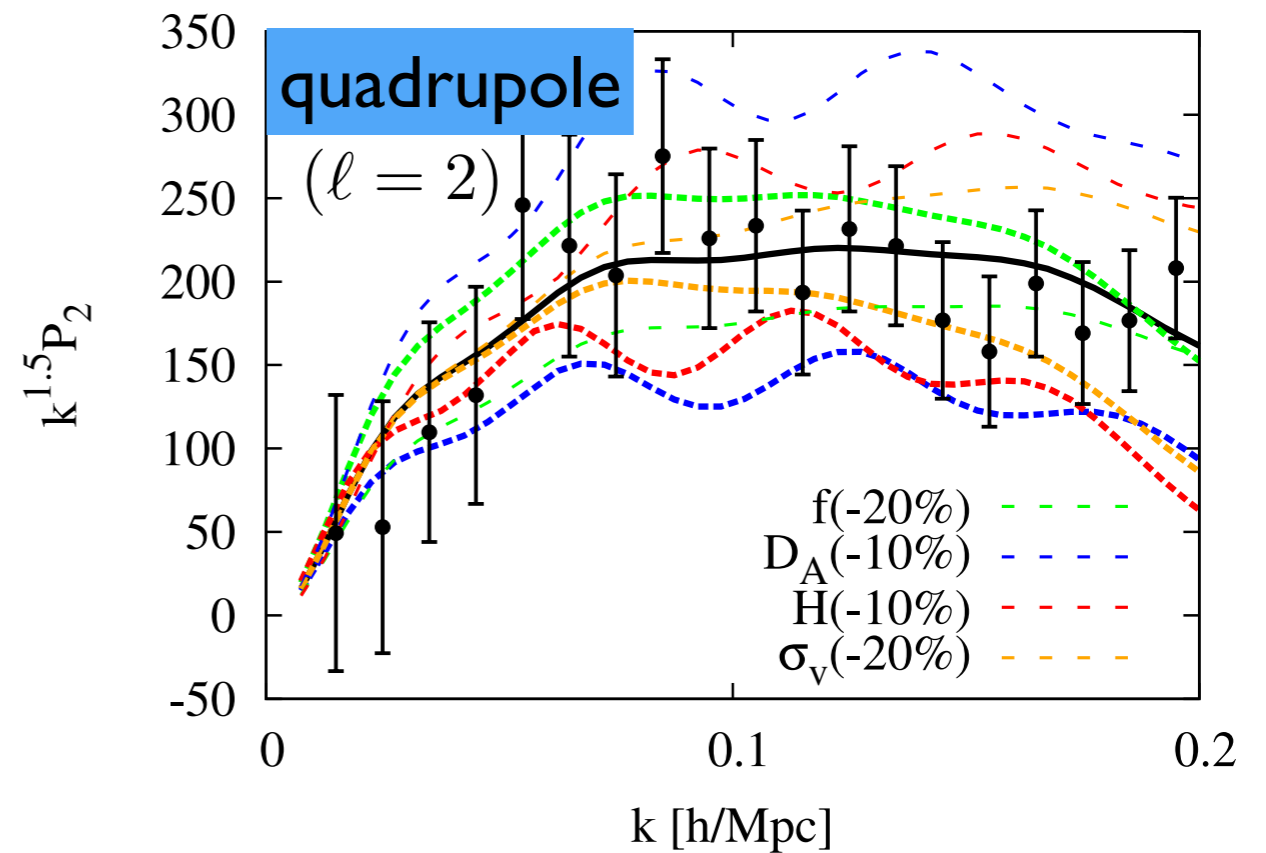
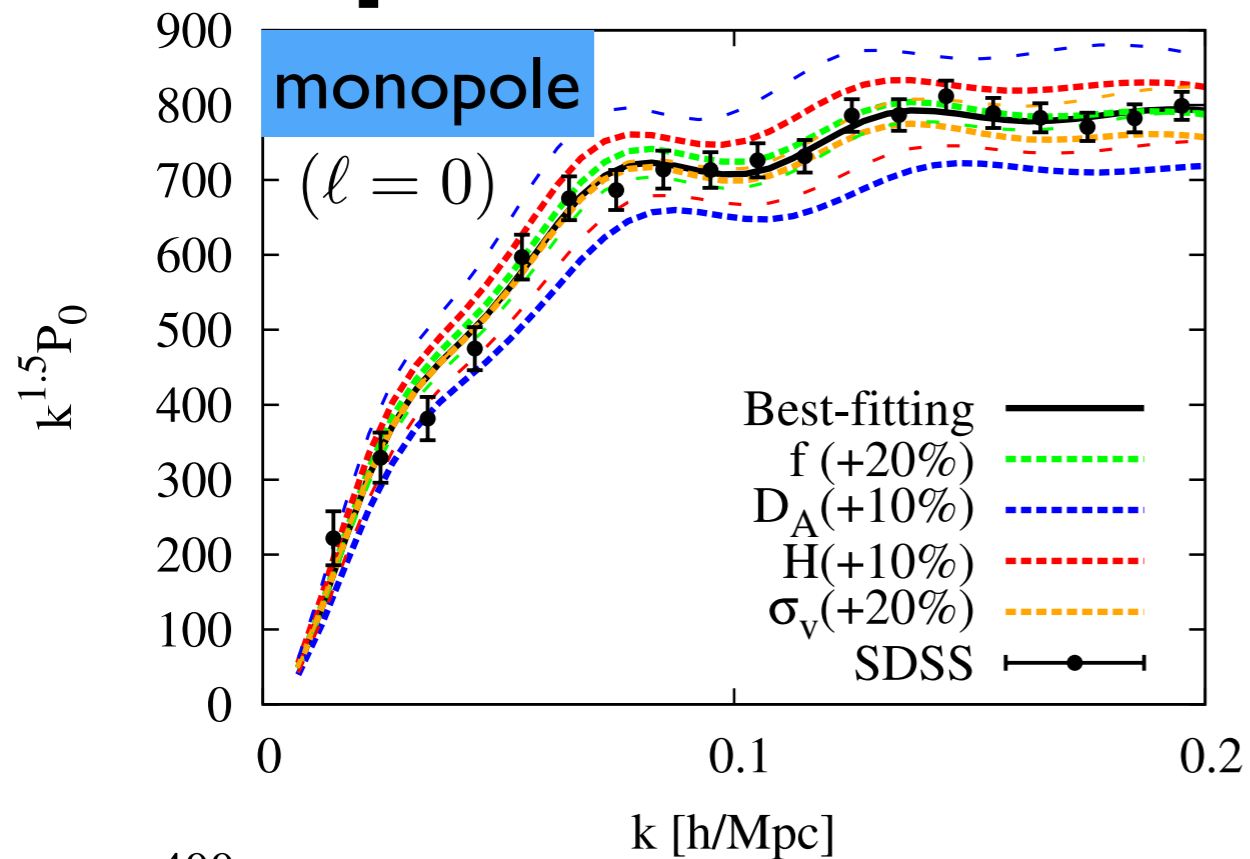
- Ryden ('95) ----- shape of void
- Ballinger, Peacock & Heavens ('96) ----- global shape of
- Matsubara & Suto ('96); Magira, Jing & Suto ('98) P(k) or  $\xi(r)$

# Baryon acoustic oscillations

- Characteristic scale of primeval baryon-photon fluid ( $\sim 150\text{Mpc}$ ) imprinted on  $P(k)$  or  $\xi(r)$
- Can be used as standard ruler to estimate distance to galaxies



# Impact of RSD & A-P effects



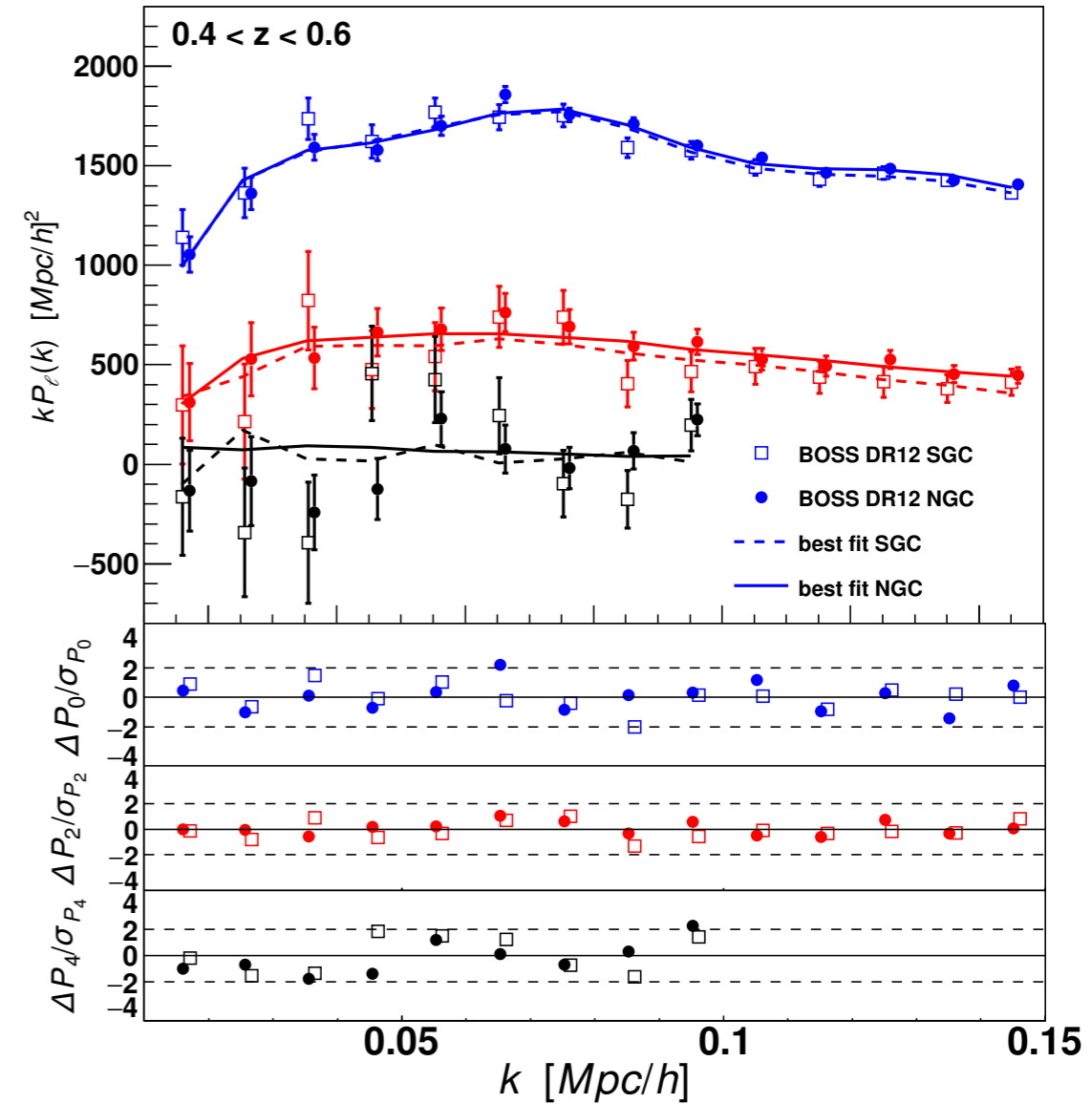
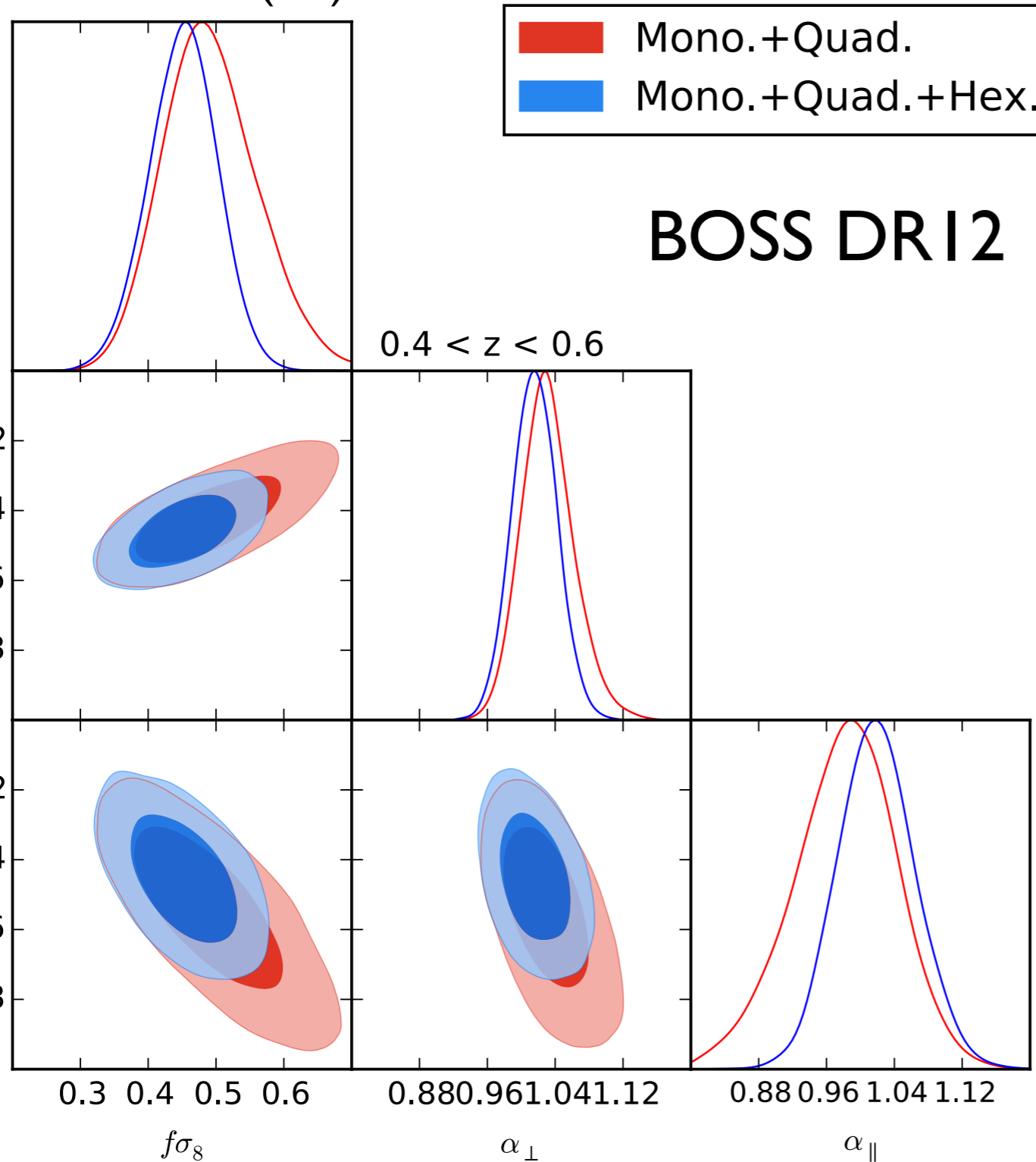
Sensitivity of clustering anisotropies to  $D_A$ ,  $H$  &  $f$

Obs. data: SDSS-II DR7 LRG

Oka et al.('13) modified

# Cosmological constraints

Beutler et al. (16)



$$\alpha_{\parallel} = \frac{H^{\text{fid}}(z)r_s^{\text{fid}}(z_d)}{H(z)r_s(z_d)}$$

$$\alpha_{\perp} = \frac{D_A(z)r_s^{\text{fid}}(z_d)}{D_A^{\text{fid}}(z)r_s(z_d)}$$

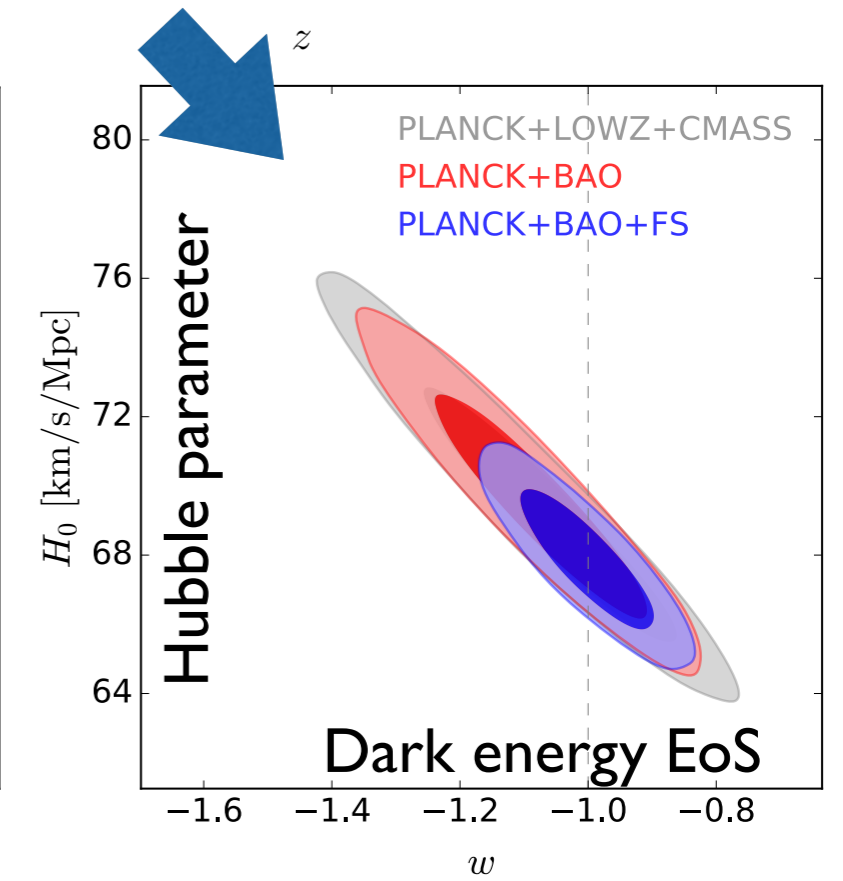
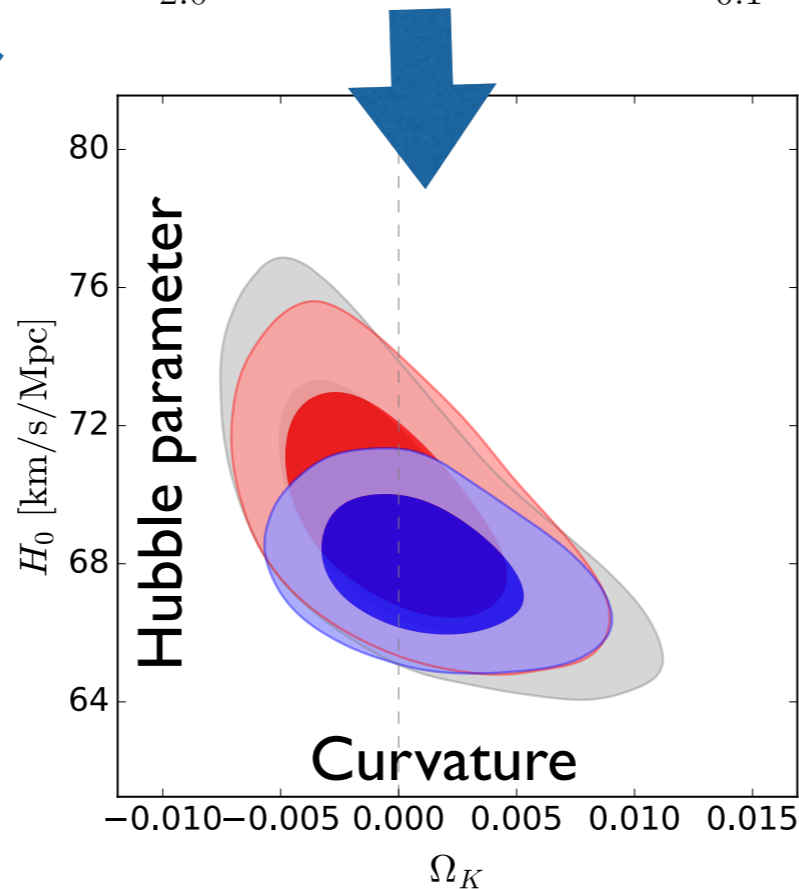
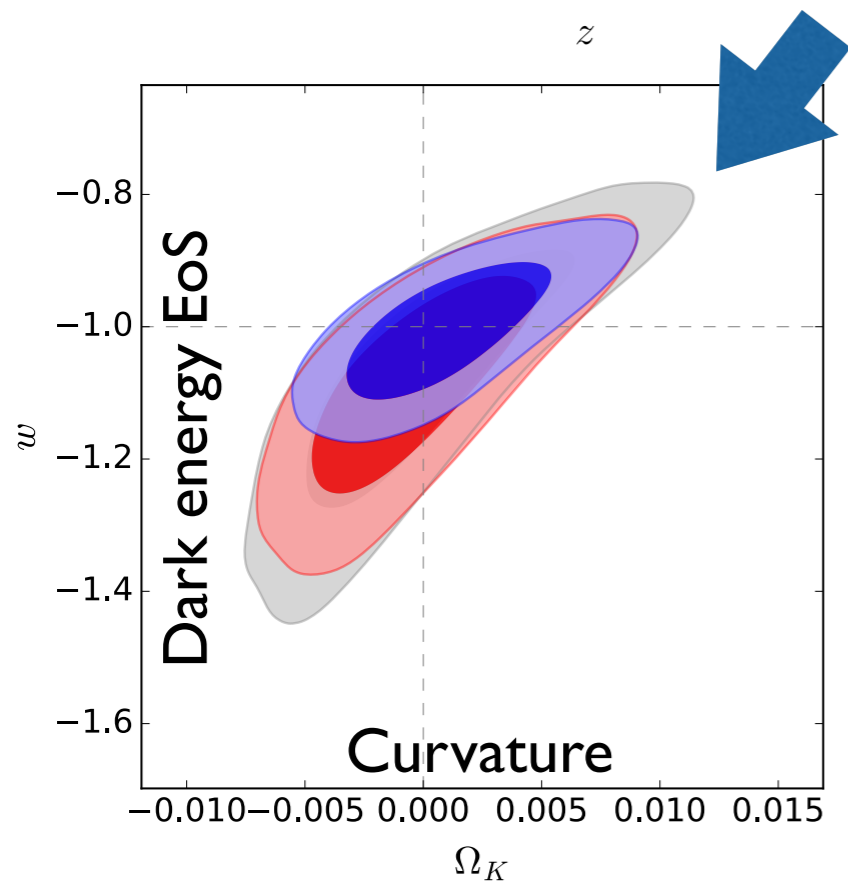
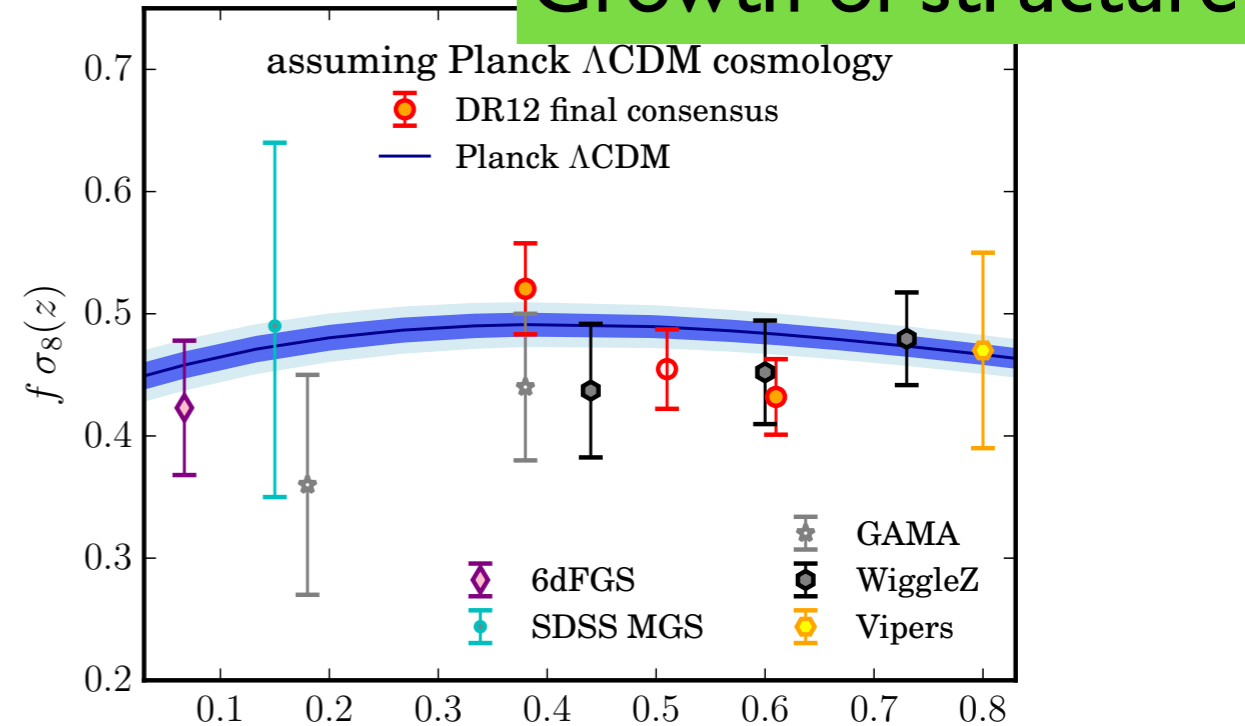
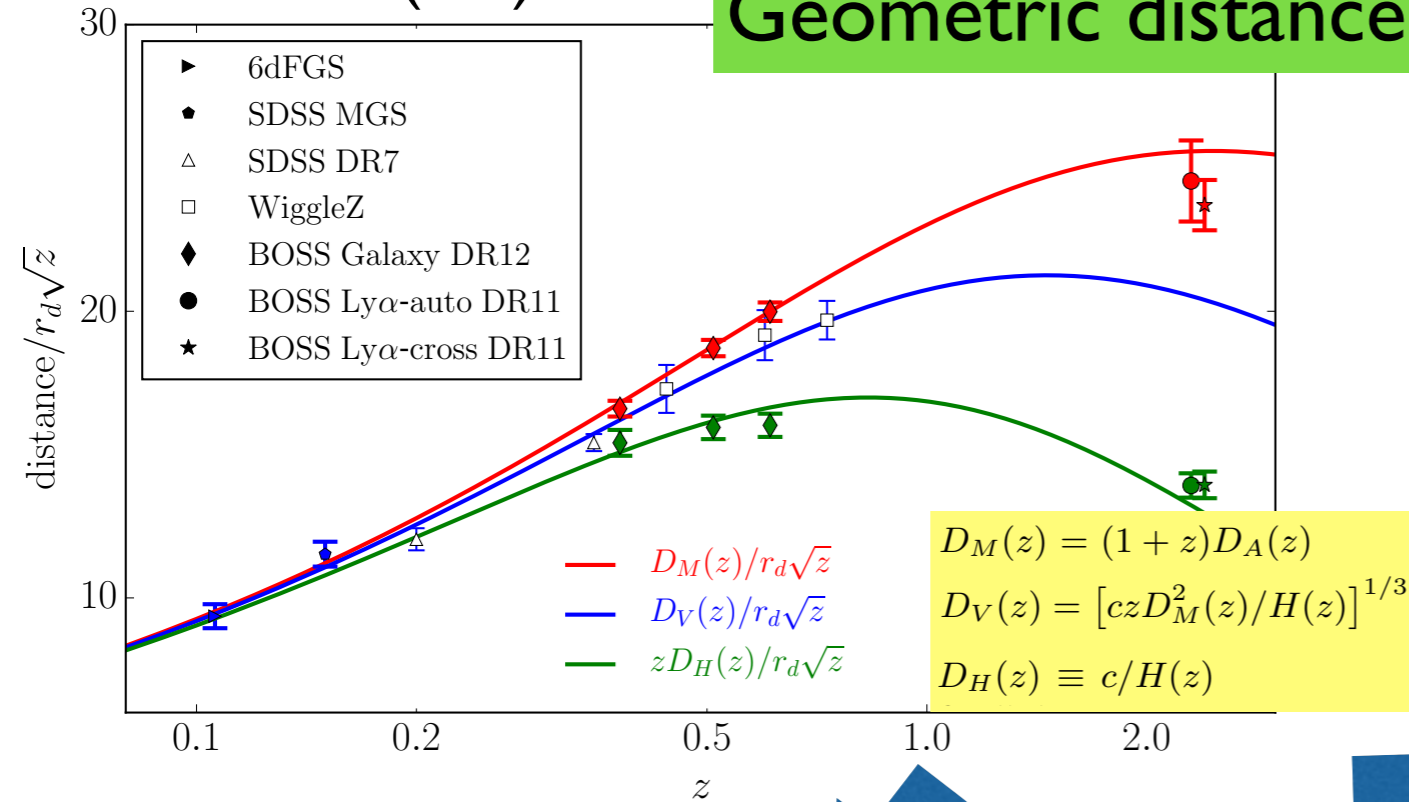


# Cosmological constraints

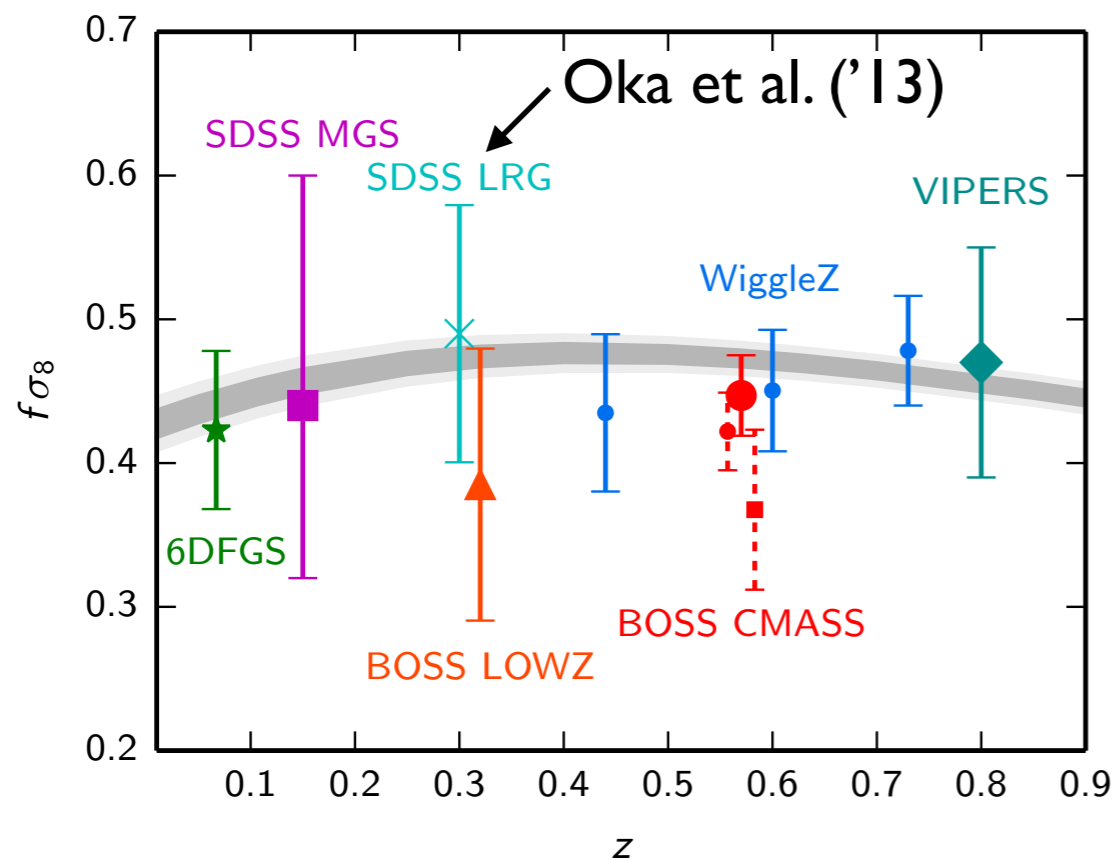
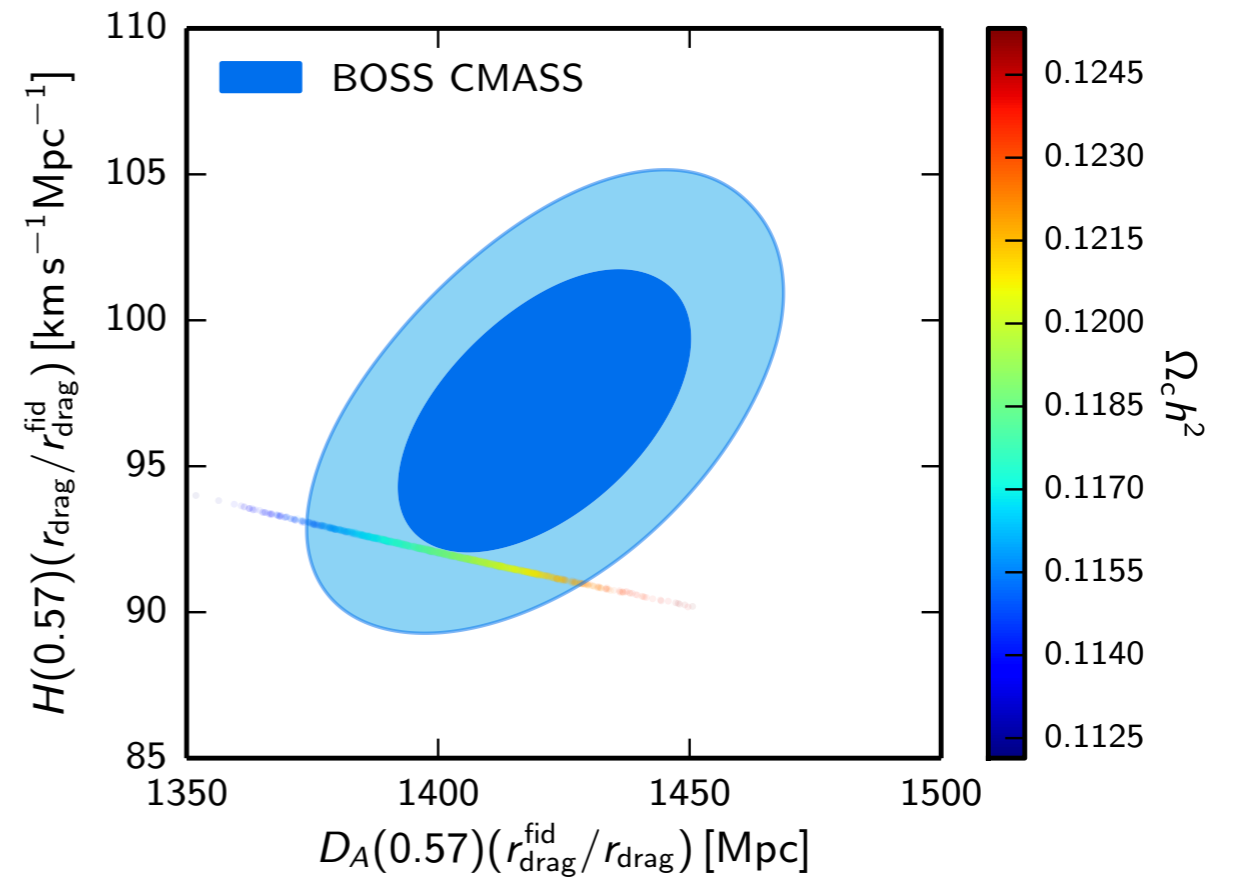
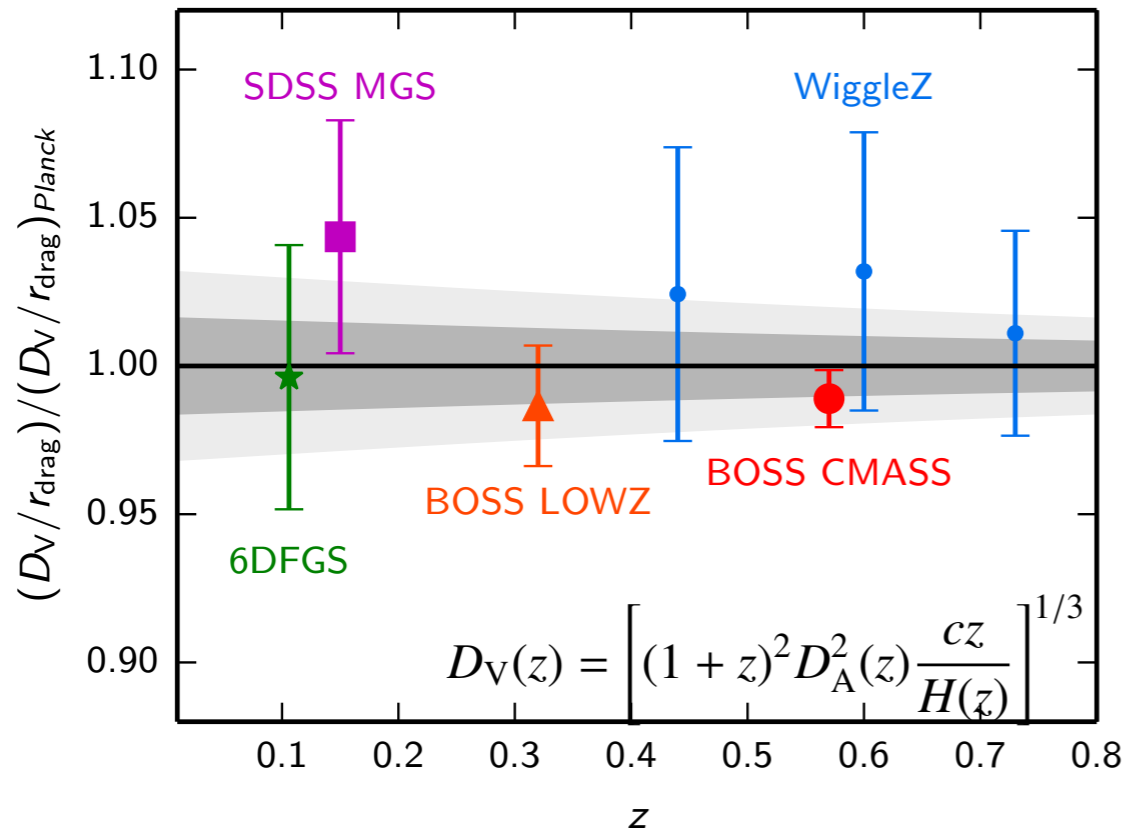
Alam et al. ('16)

Geometric distances

Growth of structure



# Compilation of other observations

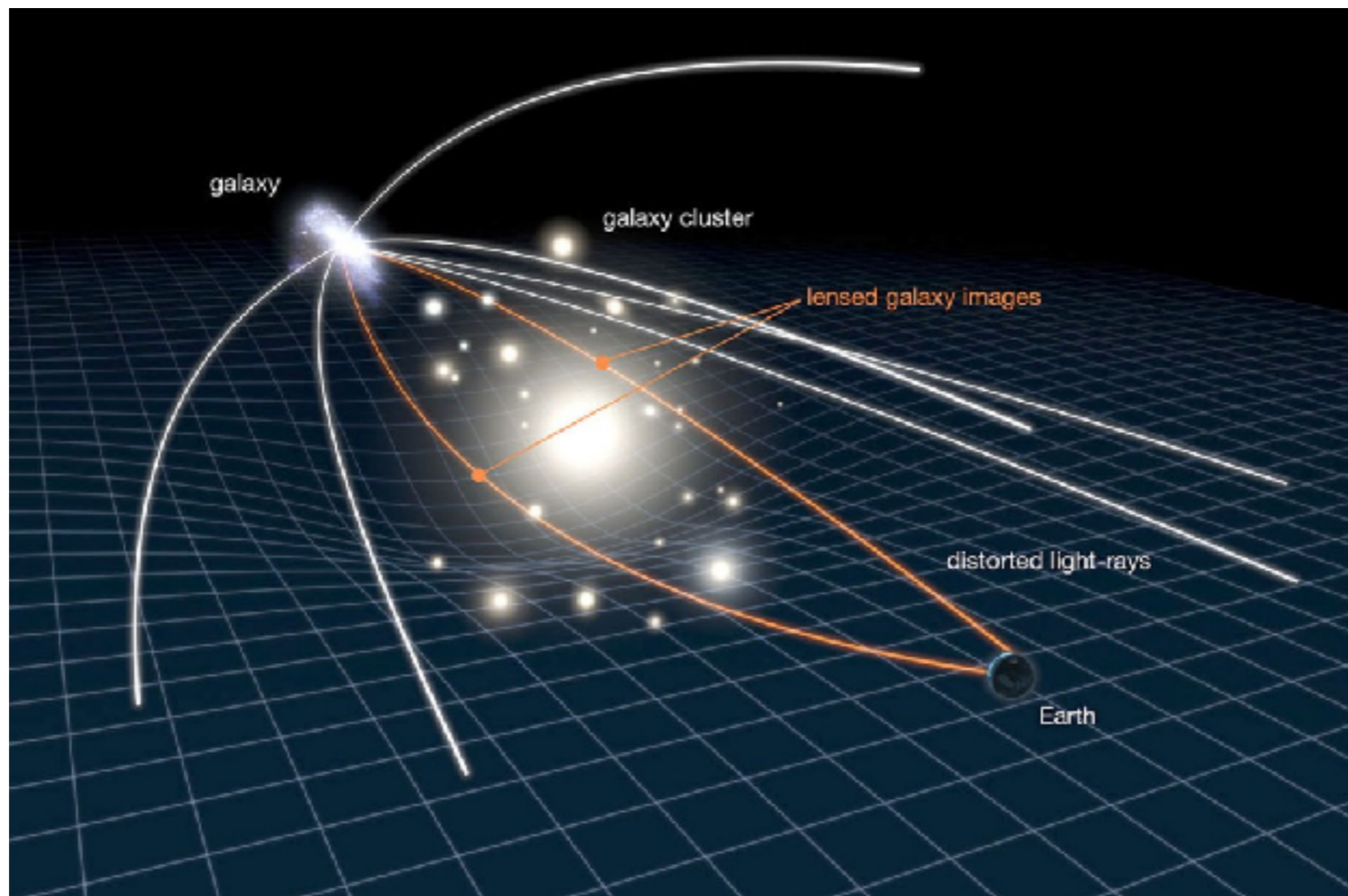


Planck 2015 results. XIII

# Gravitational lensing effect

# 重力レンズ効果

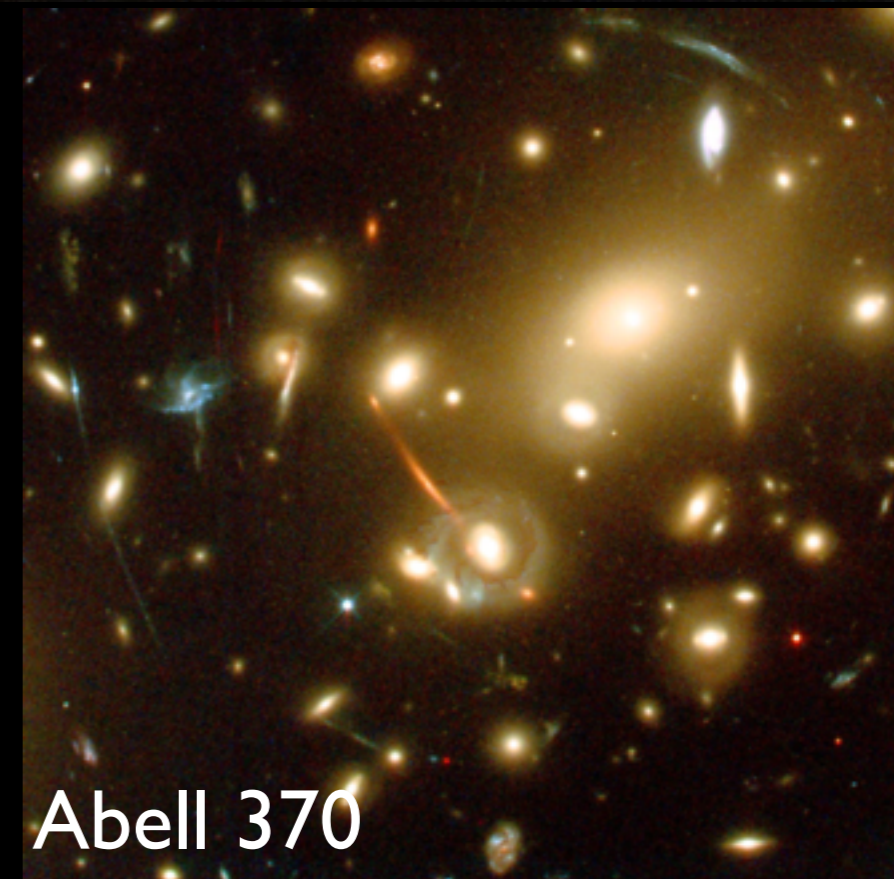
星や銀河・銀河団などの重い天体の重力場によって光が曲げられる現象 → 強い重力レンズ、弱い重力レンズに大別



強い重力レンズ：多重像、増光（減光）がみえる  
弱い重力レンズ：像の歪みがみえる



# (強い) 重力レンズ効果

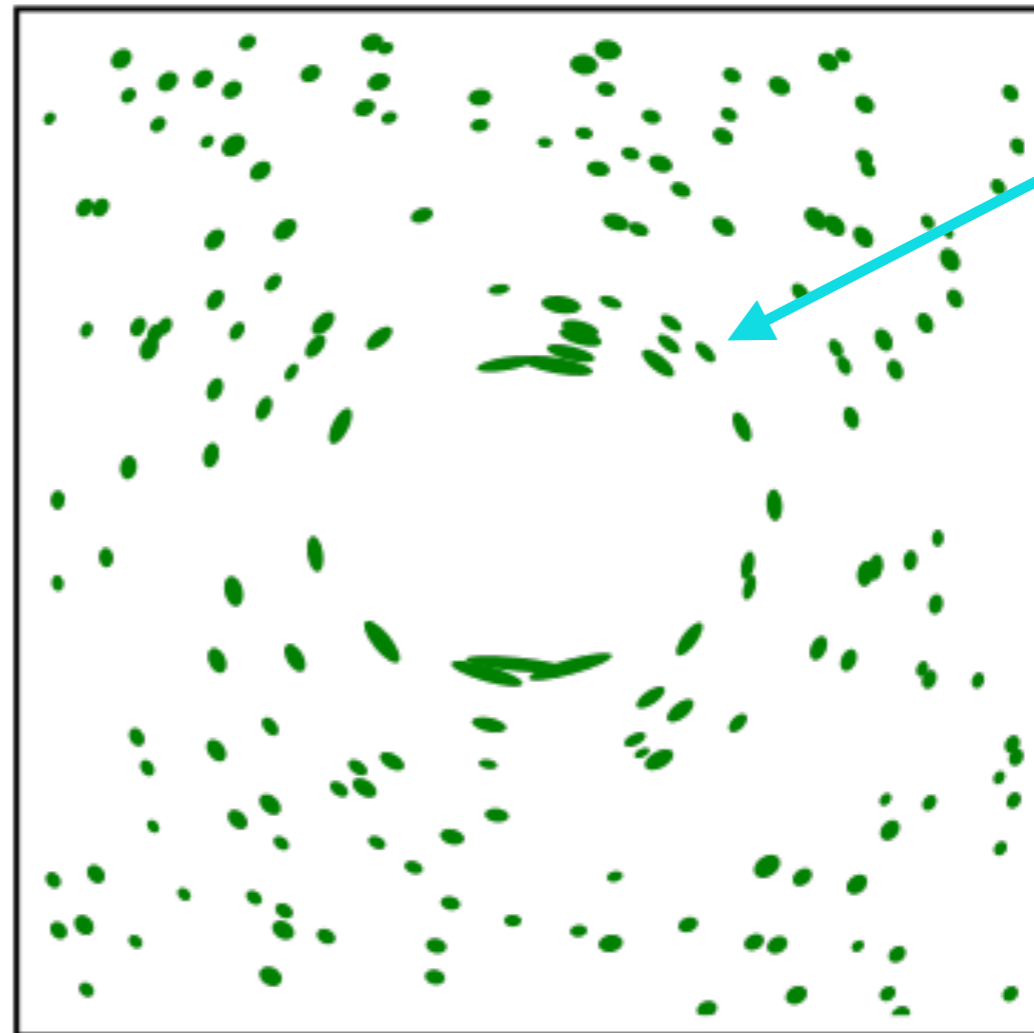
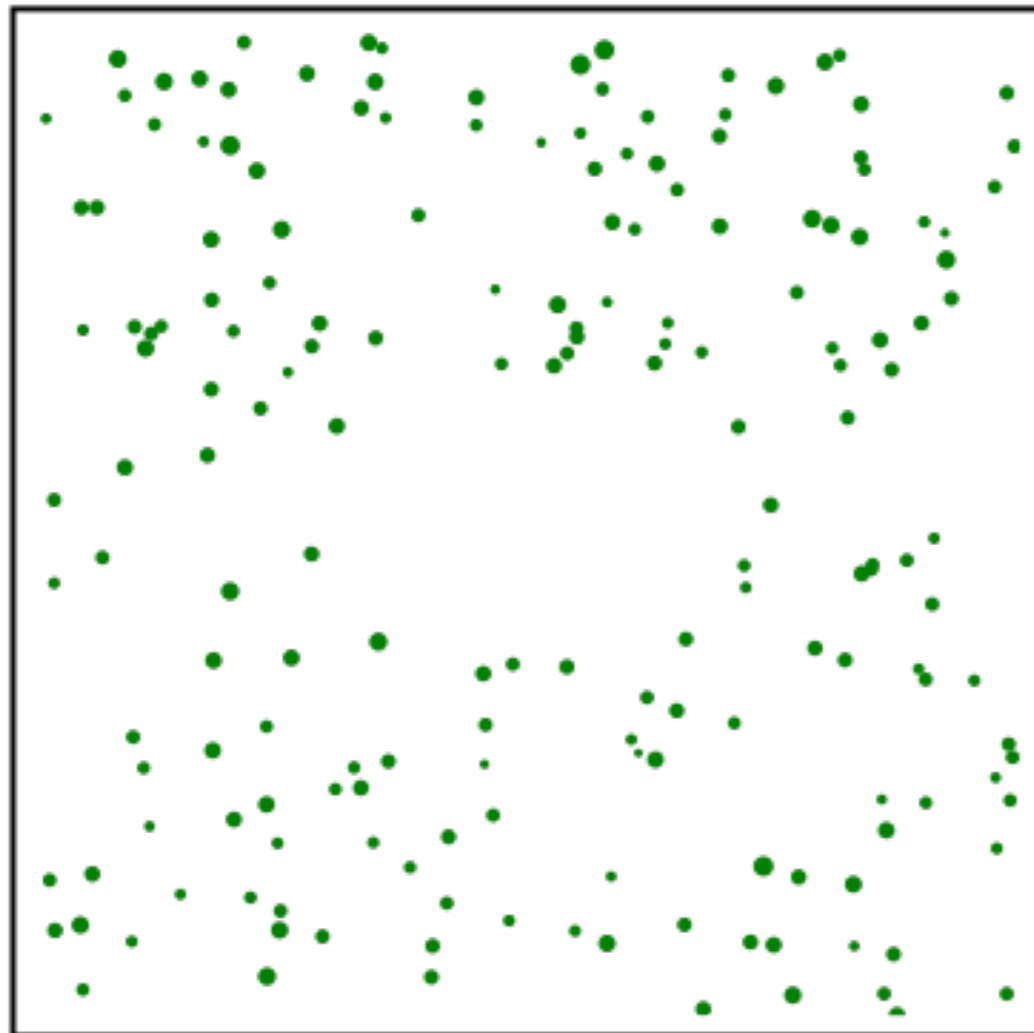


# 弱い重力レンズ効果

背景銀河の歪みから手前の見えない天体（ダークマターハロー）の性質を探ることができる

ダークマターなし

ダークマターあり



銀河のイメージの歪み



# “弾丸” 銀河団

高温ガス

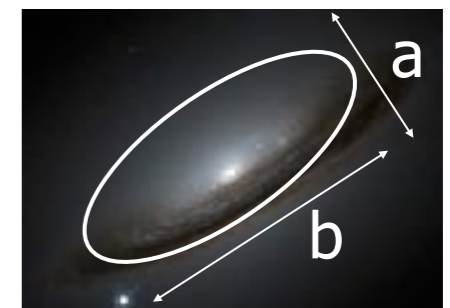
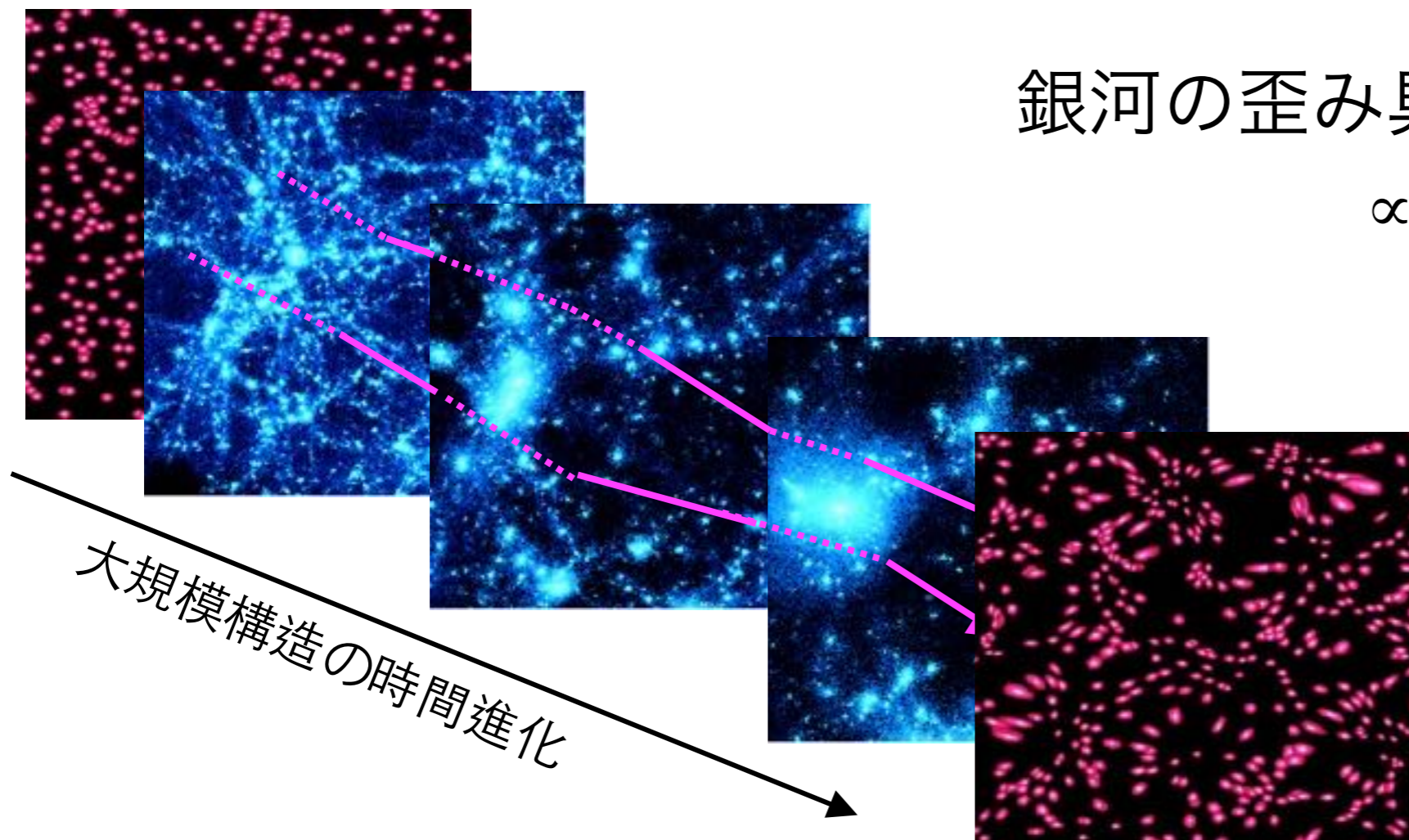
重力レンズ観測で見つかった質量密集領域  
(ダークマターの証拠)

# コスミック シア (Cosmic shear)

手前に存在する宇宙大規模構造が作る (弱い) 重力レンズ効果により、遠方の背景銀河のイメージが歪む現象

銀河の歪み具合 (楕円率)

$\propto$  幾何学的重み  
 $\times$  密度ゆらぎの振幅



$$\gamma = \frac{a - b}{a + b}$$

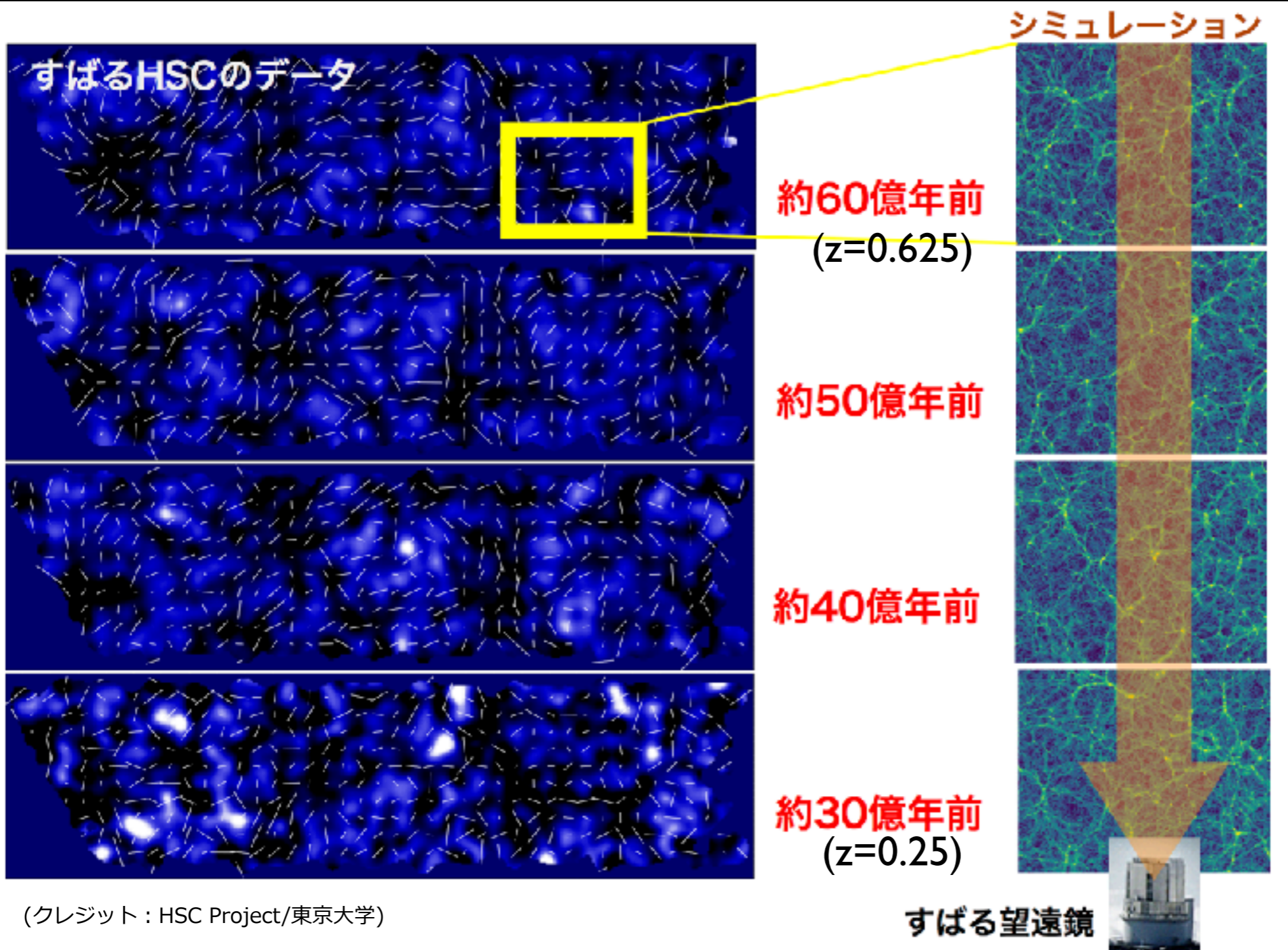
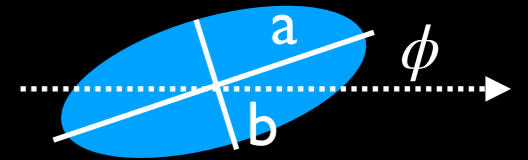
イメージの歪みの空間相関から、宇宙大規模構造のもつ宇宙論的情報を引き出せる  $\rightarrow$  精密宇宙論の基本観測量



# Subaru HSC 1 year result

Ellipticity of each object :

$$e = (e_1, e_2) = \frac{1 - (b/a)^2}{1 + (b/a)^2} (\cos 2\phi, \sin 2\phi)$$



(クレジット : HSC Project/東京大学)

# Cosmic shear statistics : theory

“Convergence field” (or Eモード) (平坦宇宙の場合)

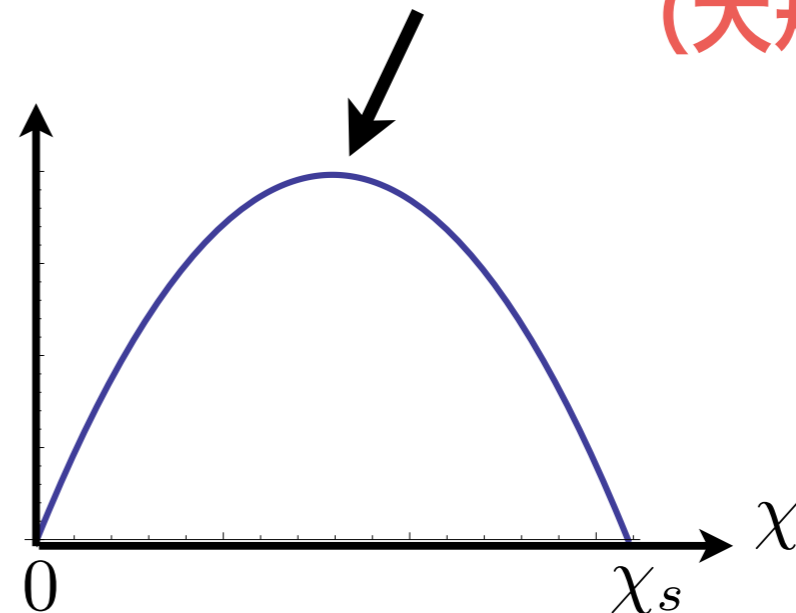
$$\kappa(\vec{\theta}) = \frac{3}{2} \Omega_m \frac{H_0^2}{c^2} \int_0^{\chi_\infty} d\chi_s n(\chi_s) \int_0^{\chi_s} d\chi \frac{\chi(\chi_s - \chi)}{\chi_s} \frac{\delta(\vec{\theta}, \chi)}{a(\chi)}$$

背景銀河の  
分布

レンズカーネル  
質量分布  
(大規模構造)

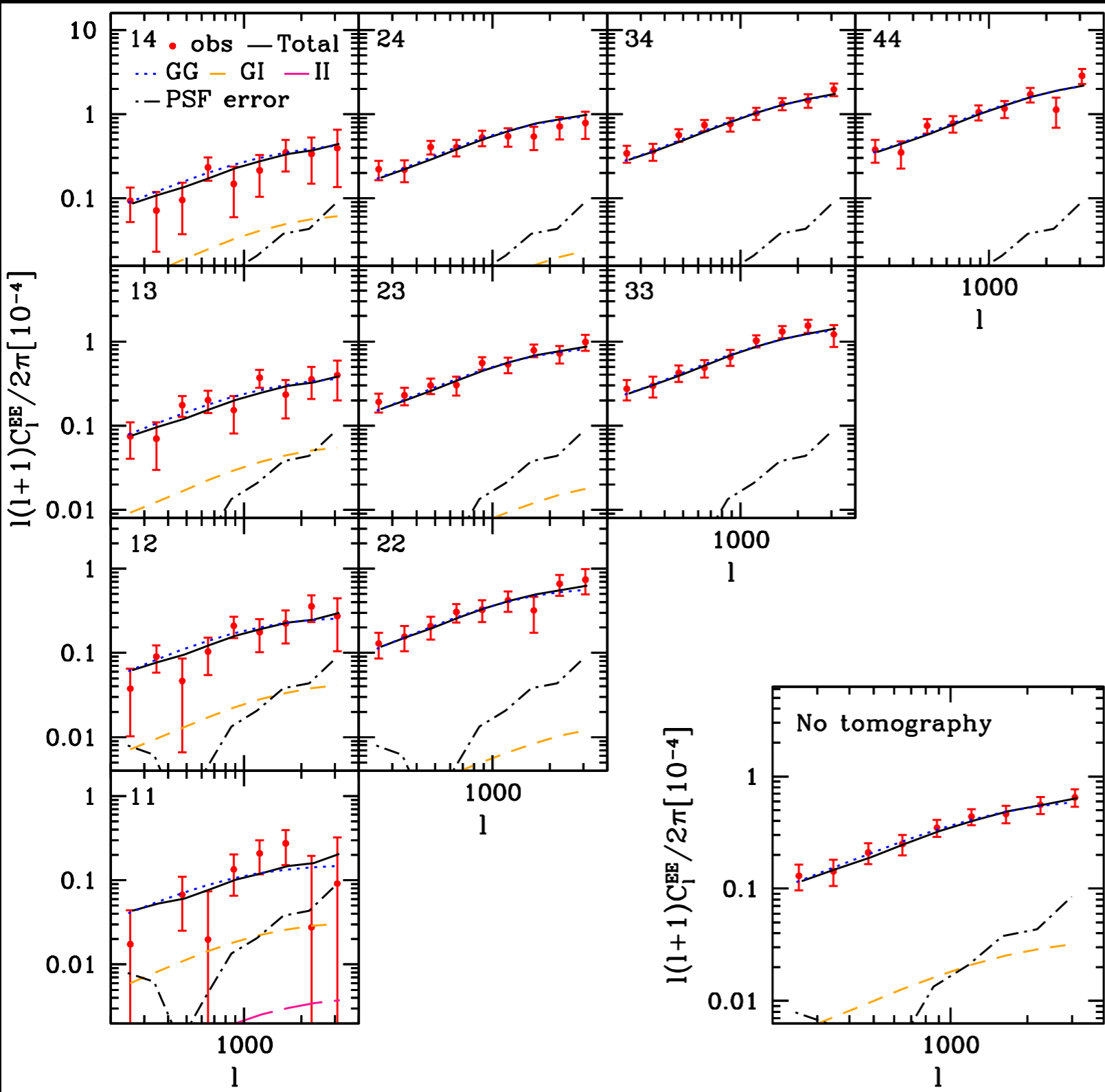
(共動) 動径距離 :

$$\chi(z) = \int_0^z \frac{c dz}{H(z)}$$



いろんな赤方偏移からの寄与が混じる (projection effect)

# Cosmic shear power spectrum



| bin number | $z$ range | $z_{\text{med}}$ | $N_g$   | $n_g$ [arcmin $^{-2}$ ] |
|------------|-----------|------------------|---------|-------------------------|
| 1          | 0.3 – 0.6 | 0.446            | 2842635 | 5.9                     |
| 2          | 0.6 – 0.9 | 0.724            | 2848777 | 5.9                     |
| 3          | 0.9 – 1.2 | 1.010            | 2103995 | 4.3                     |
| 4          | 1.2 – 1.5 | 1.300            | 1185335 | 2.4                     |
| All        | 0.3 – 1.5 | 0.809            | 8980742 | 18.5                    |

Auto- & cross power spectrum between multiple photo-z bins  
(lensing tomography)

$$C_\ell = \frac{1}{2\ell + 1} \sum_{m=-\ell}^{\ell} |e_{\ell m}|^2$$

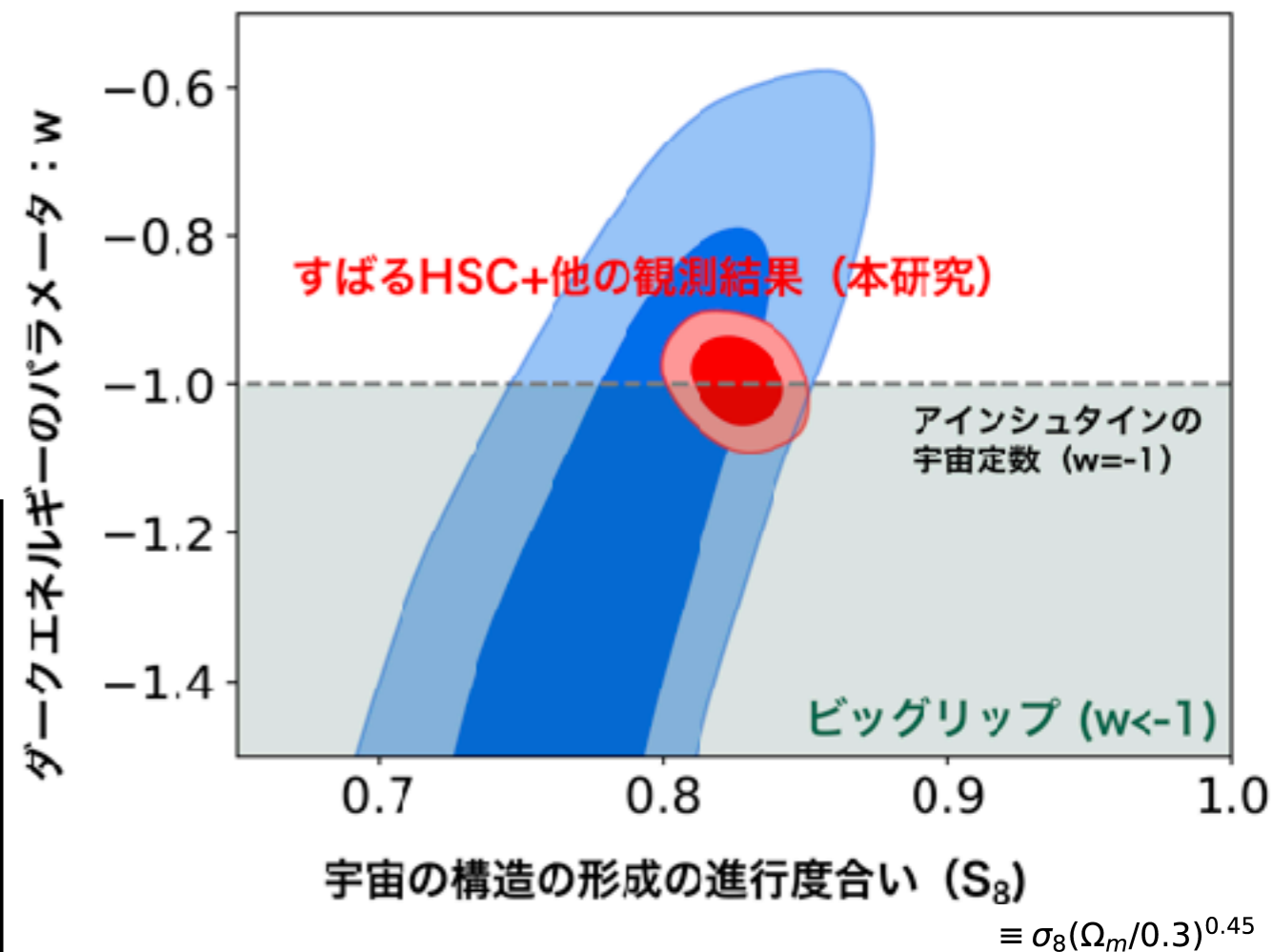
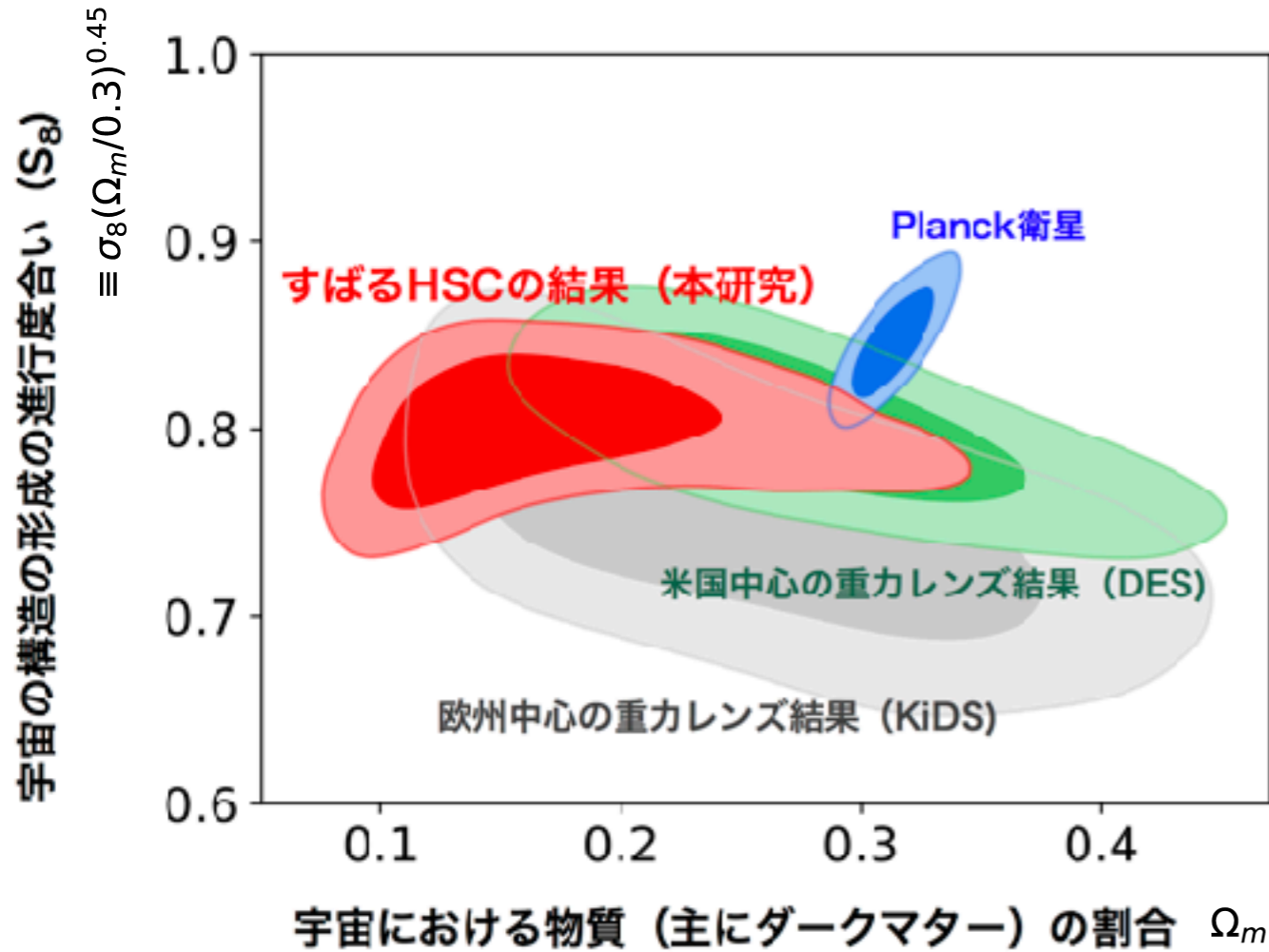
$$\left( e(\vec{\theta}) = \sum_{\ell, m} e_{\ell m} Y_{\ell m}(\vec{\theta}) \right)$$

Multipole ( $\ell \sim \pi/\theta$ )

Multipole

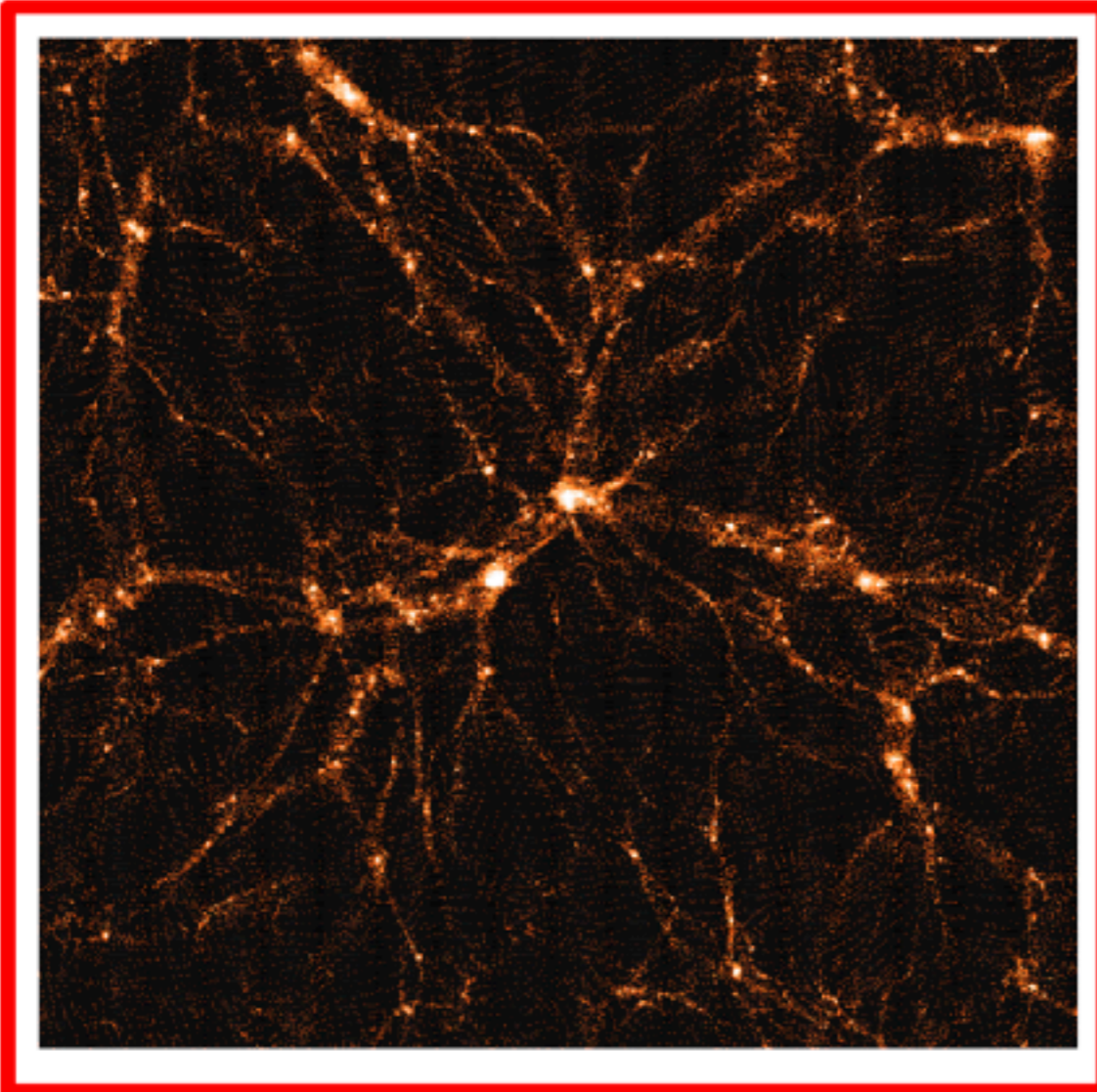
Hikage et al. (arXiv:1809.09148)

# Cosmological constraint





## HSCデータが支持する宇宙 (シミュレーション)



## プランク衛星が支持する宇宙

